



ФГБУ «Арктический и антарктический научно-исследовательский институт»
МЦД МЛ

Информационные материалы по мониторингу морского ледяного покрова Арктики и Южного Океана на основе данных ледового картирования и пассивного микроволнового зондирования SSMR-SSM/I-SSMIS-AMSR₂

09.09.2019 - 17.09.2019

№ 37 (419)

Санкт-Петербург 2019

тел. +7(812)337-3149, эл.почта: vms@aari.aq

Адрес в сети Интернет: <http://wdc.aari.ru/datasets/doo42/>

Содержание

Северное Полушарие	4
Рисунок 1а – Ледовая карта СЛО и повторяемость кромки за текущую неделю (цветовая окраска по общей сплоченности)	4
Рисунок 1б – Ледовая карта СЛО и повторяемость кромки за текущую неделю (цветовая окраска по преобладающему возрасту)	5
Рисунок 1в – Положение кромки льда и зон разреженных и сплоченных льдов СЛО за последний доступный срок на основе ледового анализа НЛЦ США	6
Рисунок 2а – Обзорная ледовая карта СЛО за текущую неделю и аналогичные периоды 2007-2017.7	
Рисунок 2б – Поля распределения средневзвешенной толщины льда совместной модели морского льда – океана НУСКОМ/СІСЕ Датского метеорологического института.....	8
Рисунок 2в – Поля распределения средней за 36-часовые промежутки температуры поверхности морского льда и океана Датского метеорологического института	9
Рисунок 2г – Поле дрейфа морского льда Арктики низкого разрешения EUMETSAT OSI-SAF.....	10
Рисунок 2д – Ежедневные оценки сезонного хода объема морского льда СЛО на основе расчетов средневзвешенной толщины льда совместной модели морского льда – океана НУСКОМ/СІСЕ Датского метеорологического института.....	11
Рисунок 2е – Аномалии приземной температуры воздуха (2м) и осредненные вектора скорости ветра (10 м) (polarportal.dk).....	12
Таблица 1 – Динамика изменения значений ледовитости для акваторий Северной полярной области за текущую неделю по данным наблюдений SSMR-SSM/I-SSMIS	13
Таблица 2 – Медианные значения ледовитости для Северной полярной области и 3-х меридиональных секторов за текущие 30 и 7-дневные интервалы и её аномалии от 2011-2016 гг. и интервалов 2006-2017 гг. и 1978-2017 гг. по данным наблюдений SSMR-SSM/I-SSMIS	13
Таблица 3 – Экстремальные и средние значения ледовитости для Северной полярной области и 3 меридиональных секторов за текущий 7-дневный интервал по данным наблюдений SSMR-SSM/I-SSMIS, алгоритм NASATEAM.....	14
Рисунок 3а – Ежедневные оценки сезонного хода ледовитости для Северной Полярной Области и её трех меридиональных секторов за период с 26.10.1978 по текущий момент времени по годам. ...	16
Рисунок 3б – Ежедневные оценки сезонных изменений ледовитости для Северной Полярной Области с 26.10.1978 по текущий момент времени	17
Рисунок 4 – Медианные распределения сплоченности льда за текущие 7 дневные промежутки (слева) и её разности относительно медианного распределения за те же промежутки за периоды 1979-2019 (центр) и 2009-2019 гг. (справа) на основе расчетов по данным SSMR-SSM/I-SSMIS, алгоритмы NASATEAM.....	18
Южный океан	19
Рисунок 5 а,б – Ледовая карта Южного Океана за последний доступный срок (окраска по общей сплоченности и преобладающему возрасту).....	19,20
Рисунок 5в – Положение кромки льда и зон разреженных и сплоченных льдов Южного Океана за последний доступный срок на основе ледового анализа НЛЦ США.	21
Рисунок 5д – Анализ ААНИИ крупных айсбергов Южного океана	22
Таблица 4 – Параметры крупных айсбергов Южного океана на основе анализа ААНИИ	23
Рисунок 7а – Ежедневные оценки сезонного хода ледовитости Южного Океана и его трёх меридиональных секторов за период с 26.10.1978 по текущий момент времени по годам	24
Рисунок 7б – Ежедневные оценки сезонного хода ледовитости Южного Океана и его трёх меридиональных секторов за период с 26.10.1978 по текущий момент времени.	25
Рисунок 8 – Медианные распределения общей сплоченности льда за текущие 7 дневные промежутки (слева) и её разности относительно медианного распределения за тот же промежуток за периоды 1978-2019 (центр) и 2009-2019 гг. (справа) на основе расчетов по данным SSMR-SSM/I-SSMIS, алгоритм NASATEAM.....	26
Таблица 5 – Динамика изменения значений ледовитости для акваторий Южного океана за текущий 7-дневный интервал по данным наблюдений SSMR-SSM/I-SSMIS	27
Таблица 6 – Медианные значения ледовитости для Южного океана и 3 меридиональных секторов за текущие 30 и 7-дневные интервалы и её аномалии от 2011-2016 гг. и интервалов 2007-2017 гг. и 1978-2017 гг. по данным наблюдений SSMR-SSM/I-SSMIS, алгоритм NASATEAM	27

Таблица 7 – Экстремальные и средние значения ледовитости для Южного океана и 3 меридиональных секторов за текущий 7-дневный интервал по данным наблюдений SSMR-SSM/I-SSMIS, алгоритм NASATEAM.....	27
Земля в целом	
Рисунок 9 – Ежедневные сглаженные окном 365 суток значения ледовитости Арктики, Антарктики и Земли в целом с 26.10.1978 на основе SSMR-SSM/I-SSMIS	28
Рисунок 10 – Ежедневные сглаженные окном 365 суток значения приведенной ледовитости Арктики, Антарктики и Земли в целом с 26.10.1978 на основе SSMR-SSM/I-SSMIS	29
Рисунок 11 – Ежедневные сглаженные окном 365 суток значения общей сплоченности Арктики и Антарктики с 26.10.1978 на основе SSMR-SSM/I-SSMIS	30
Приложение 1 – Статистические значения ледовитостей по отдельным акваториям Северной Полярной Области и Южного океана	31
Таблица 8 – Средние, аномалии среднего и экстремальные значения ледовитостей для Северной полярной области и её отдельных акваторий за текущие 7-дневный (неделя) и 30-дневный промежутки времени по данным наблюдений SSMR-SSM/I-SSMIS, алгоритм NASATEAM за период 1978-2017 гг.....	31
Таблица 9 – Средние, аномалии среднего и экстремальные значения ледовитостей для Южного океана и его отдельных акваторий за текущие 7-дневный и 30-дневный промежутки времени по данным наблюдений SSMR-SSM/I-SSMIS, алгоритм NASATEAM за период 1978-2017	33
Таблица 10 – Динамика изменения значений ледовитости по сравнению с предыдущей неделей для морей Северной полярной области и Южного океана за текущий 7-дневный (неделя) промежуток времени по данным наблюдений SSMIS	35
Характеристика исходного материала и методика расчетов	36
Список источников	41

Северное Полушарие

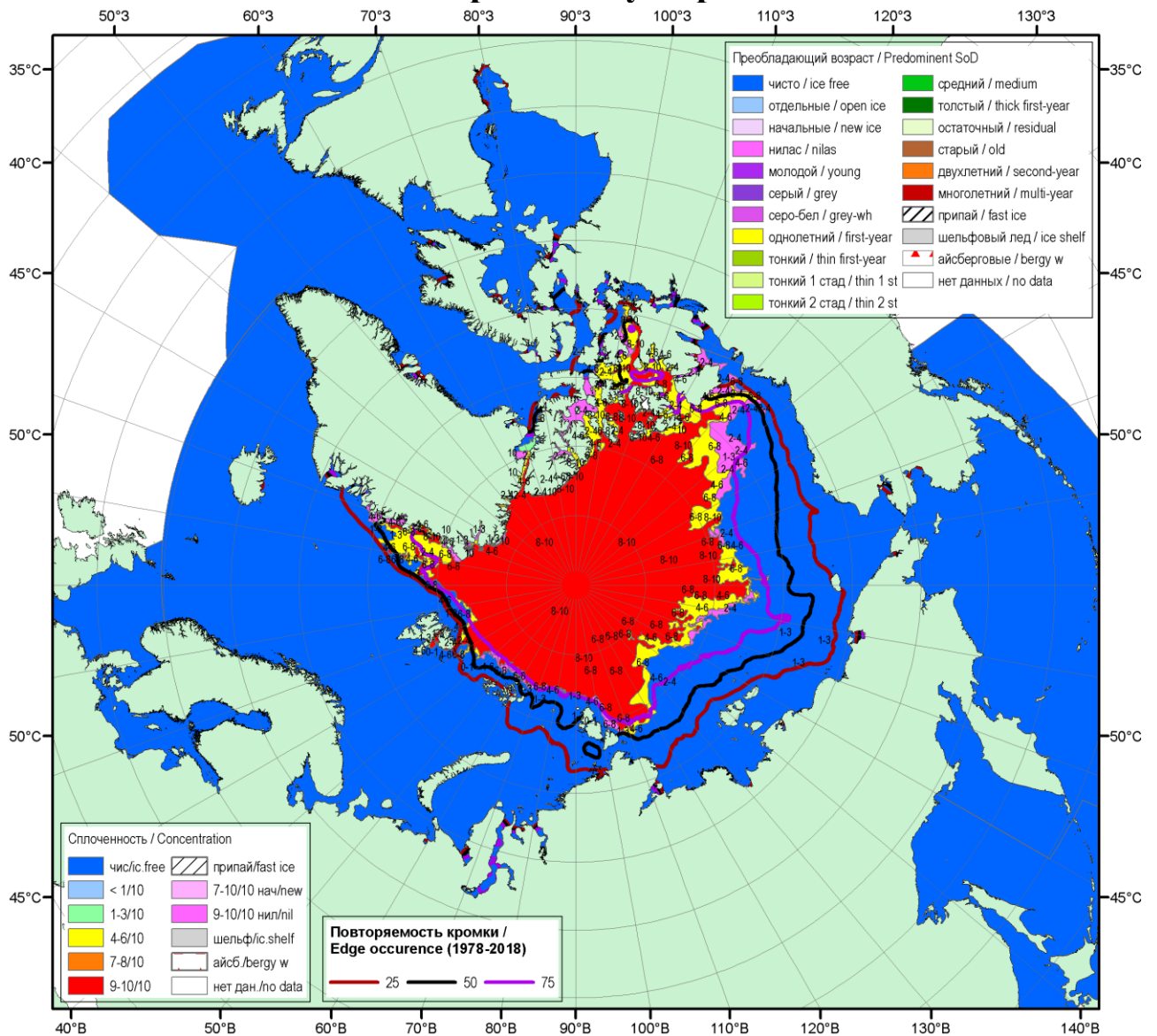


Рисунок 1а – Обзорная ледовая карта СЛЮ за 13.09.2019-17.09.2019 г. (цветовая раскраска по общей сплоченности) на основе ледового анализа ААНИИ (17.09), Национального ледового центра США (13.09) и повторяемость кромки за 16-20.09 за период 1979-2018 гг. по наблюдениям SSMR-SSM/I-SSMIS (алгоритм NASATEAM).

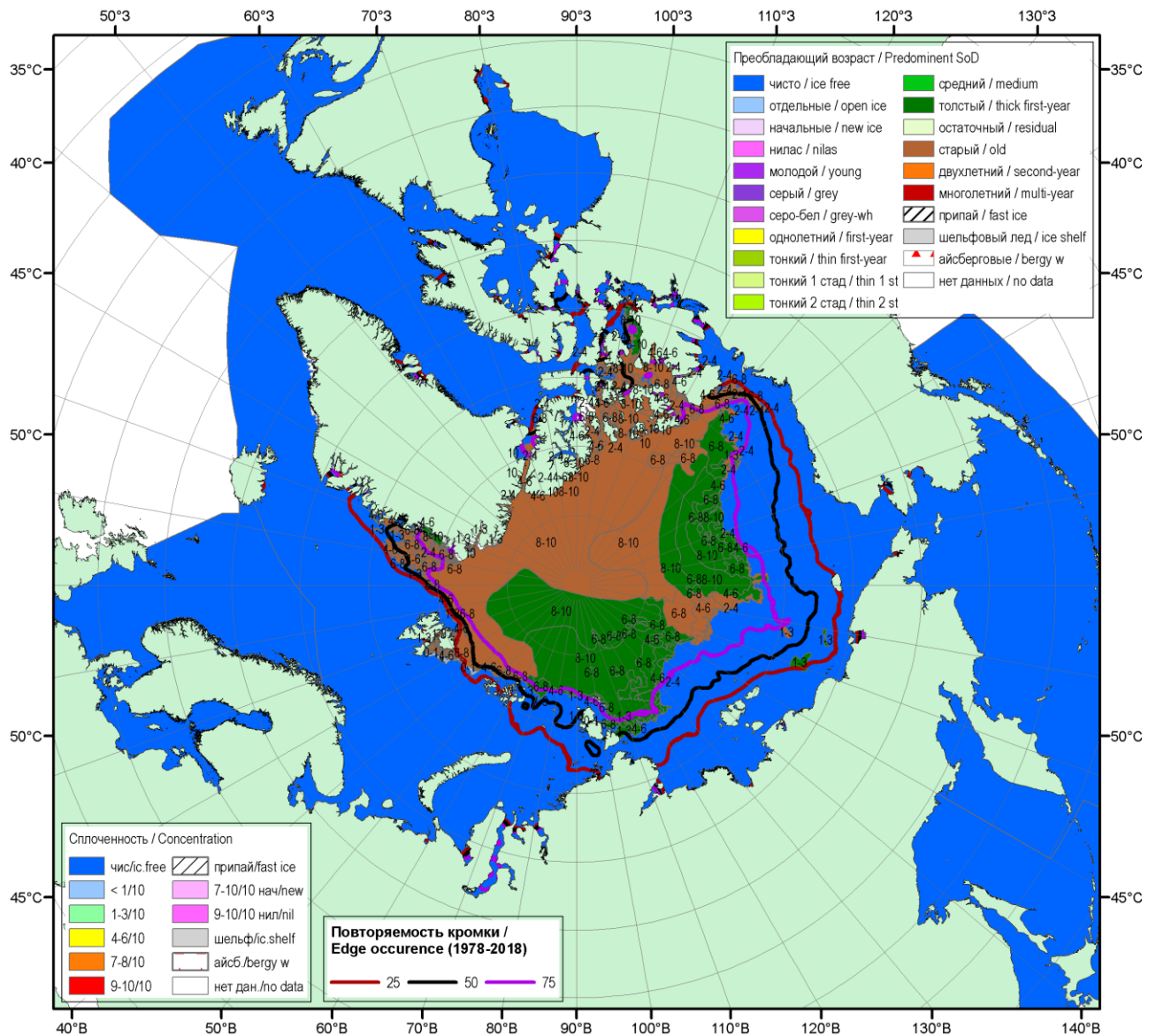


Рисунок 16 – Обзорная ледовая карта СЛО за 13.09.2019 г. (цветовая раскраска по преобладающему возрасту) на основе ледового анализа Национального ледового центра США (13.09) и повторяемость кромки за 11-15.09 за период 1979-2018 гг. по наблюдениям SSMR-SSM/I-SSMIS (алгоритм NASATEAM).

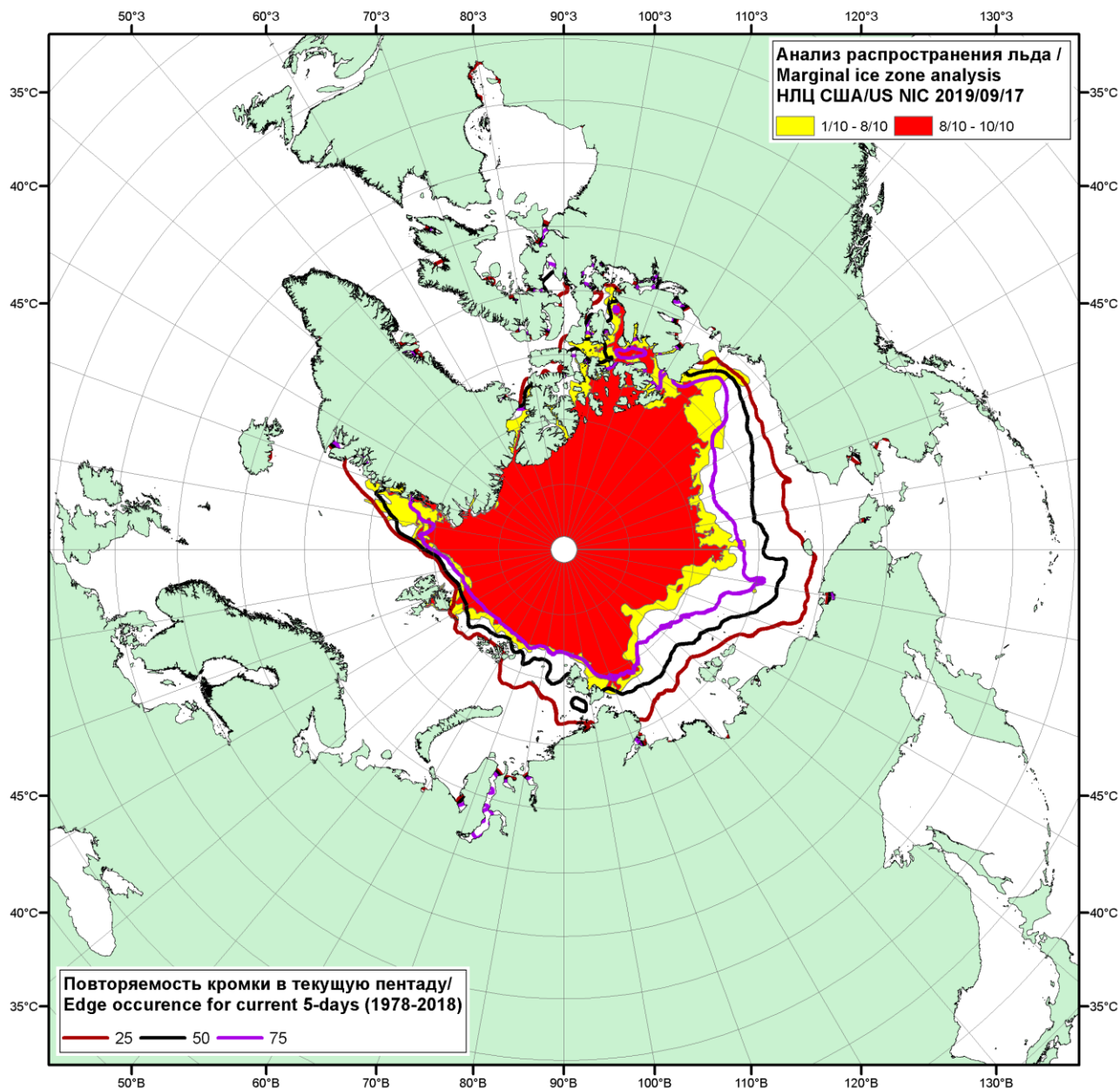


Рисунок 1в – Положение кромки льда и зон разреженных (<8/10) и сплоченных ($\geq 8/10$) льдов СЛО за 17.09.2019 г. на основе ледового анализа Национального Ледового Центра США и повторяемость кромки за 16-20.09 за период 1979-2018 гг. по наблюдениям SSMR-SSM/I-SSMIS (алгоритм NASATEAM)

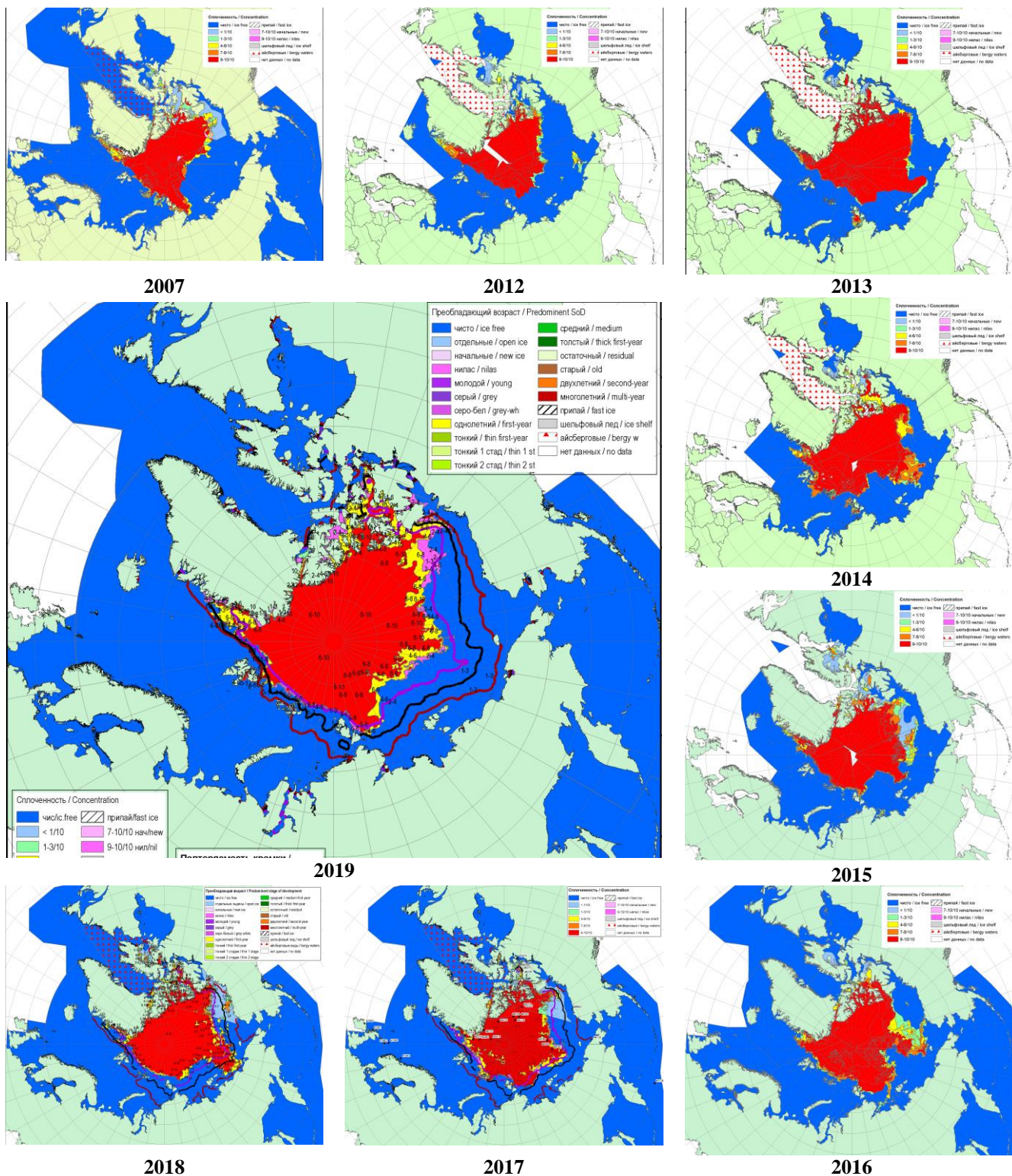


Рисунок 2а – Обзорная ледовая карта СЮ за 13.09 - 17.09.2019 г. и аналогичные периоды 2007-2018 гг. на основе ледового анализа ААНИИ, НИЦ Планета, Канадской ледовой службы и Национального ледового центра США.

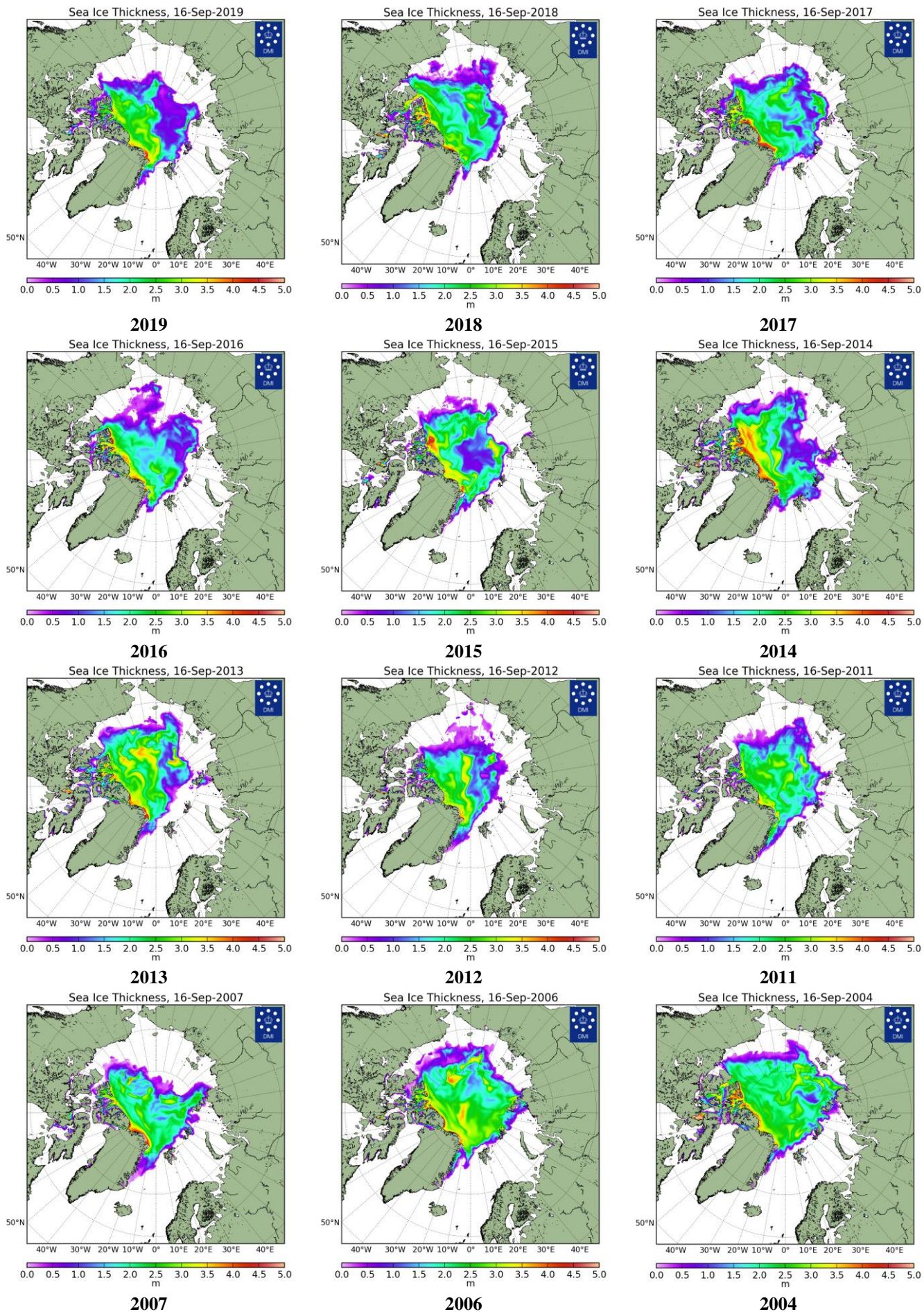


Рисунок 26 – Поля распределения средневзвешенной толщины льда совместной модели морского льда – океана NUCOM/CICE Датского метеорологического института 16.09 2004...2019 гг.

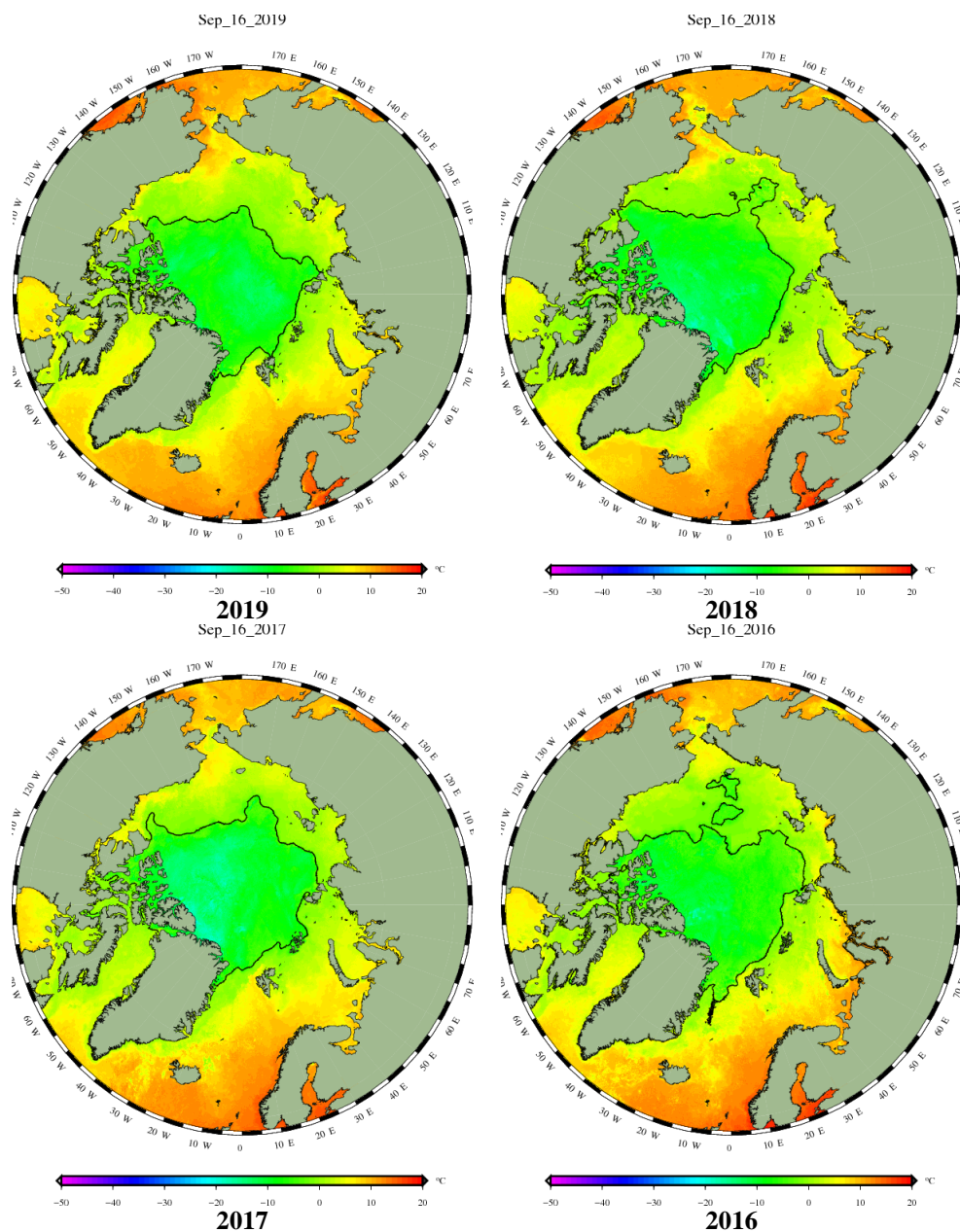
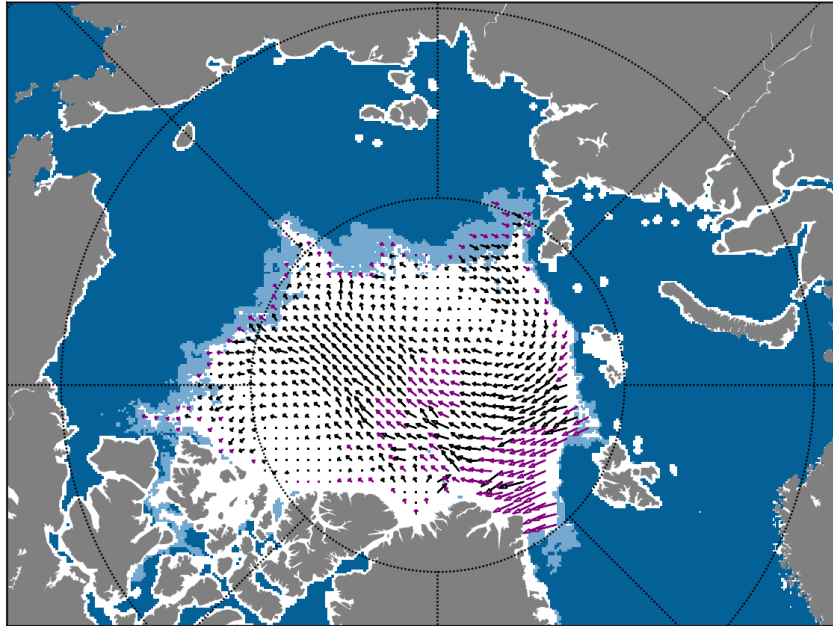


Рисунок 2в – Поля распределения средней за 36-часовые промежутки температуры поверхности морского льда и океана Датского метеорологического института на основе статистической обработки ИК-каналов AVHRR ИСЗ MetOp-A за 14.09-16.09 2016-2019 гг. (<http://polarportal.dk/en/sea-ice-and-icebergs/sea-ice-temperature/#c8099>)

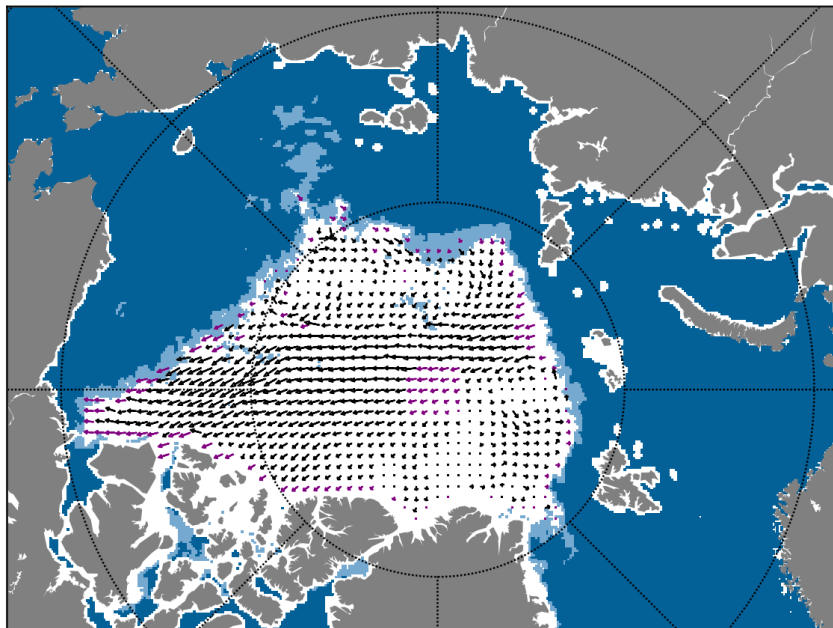
MULTI-OI / 2019-09-14 to 2019-09-16



Zone: Arctic Ocean / Image: Copyright (2019) EUMETSAT

2019

MULTI-OI / 2018-09-14 to 2018-09-16



Zone: Arctic Ocean / Image: Copyright (2018) EUMETSAT

2018

Рисунок 2г – Поле дрейфа морского льда Арктики низкого разрешения EUMETSAT OSI-SAF (low resolution sea ice drift product of the EUMETSAT Ocean and Sea Ice Satellite Application Facility - OSI SAF, www.osi-saf.org) за 14.09-16.09.2018-2019 гг. на основе данных SSMIS (91 GHz H&V pol.) DMSP F17, ASCAT (C-band backscatter) ИСЗ Metop-A и AMSR-2 ИСЗ GCOM-W.

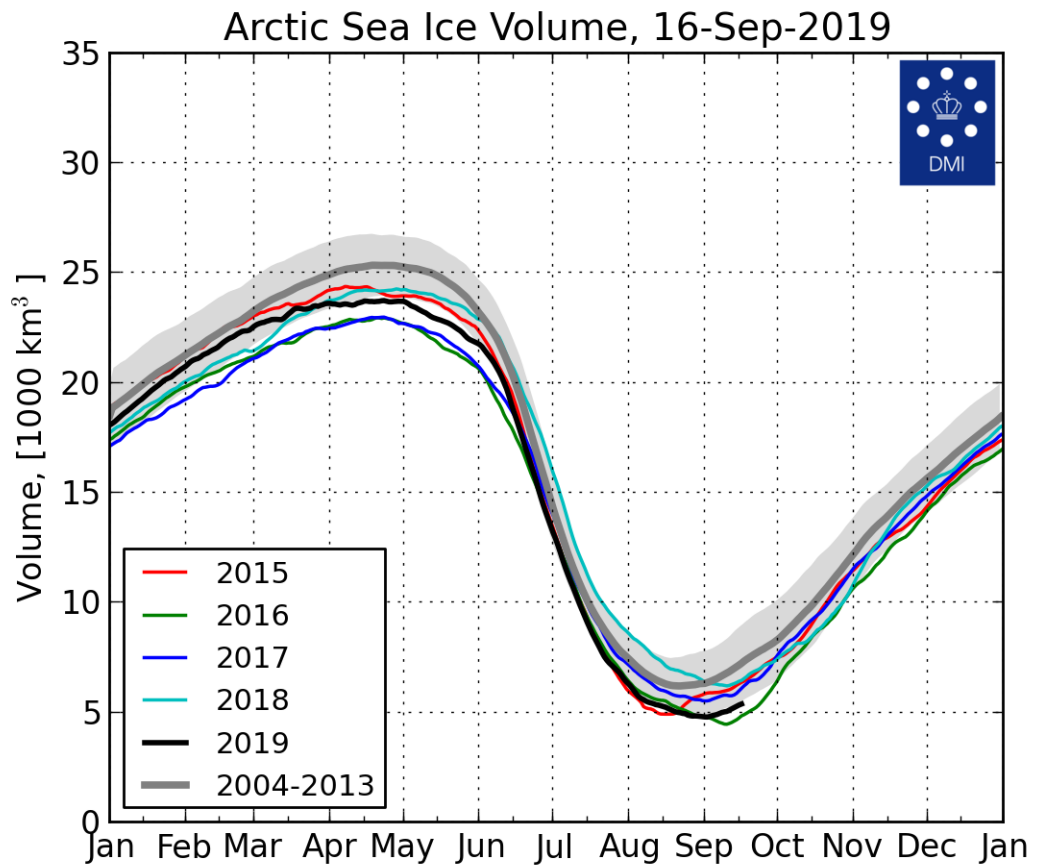
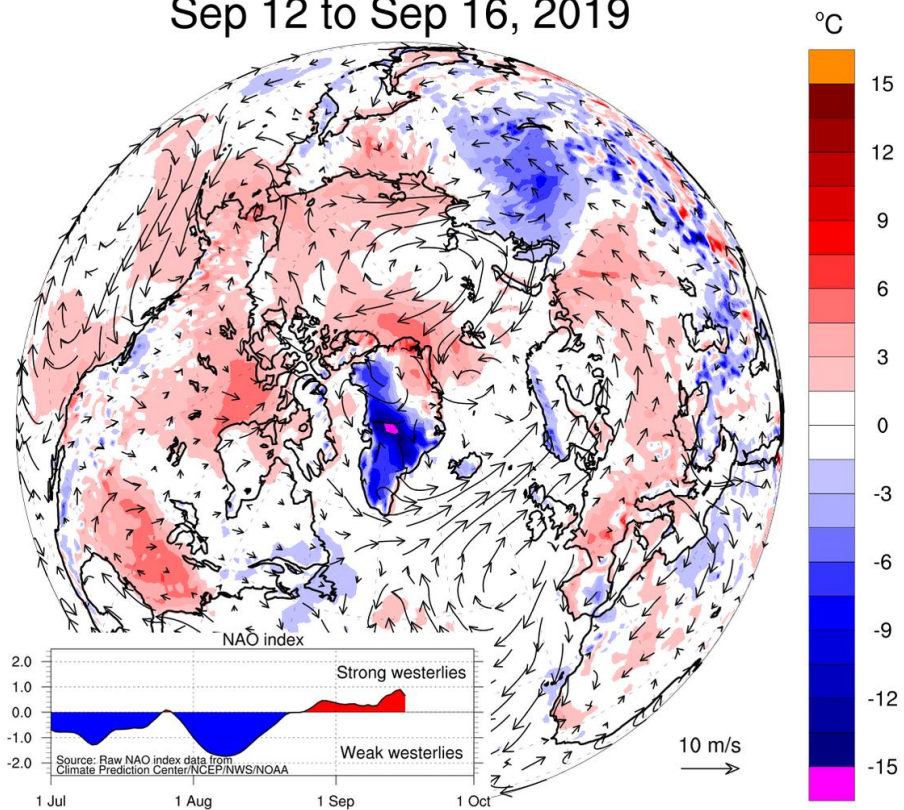


Рисунок 2д – Ежедневные оценки сезонного хода объема морского льда СЛО на основе расчетов средневзвешенной толщины льда совместной модели морского льда – океана HYCOM/CICE Датского метеорологического института с 01.01.2004 по 16.09.2019 гг.

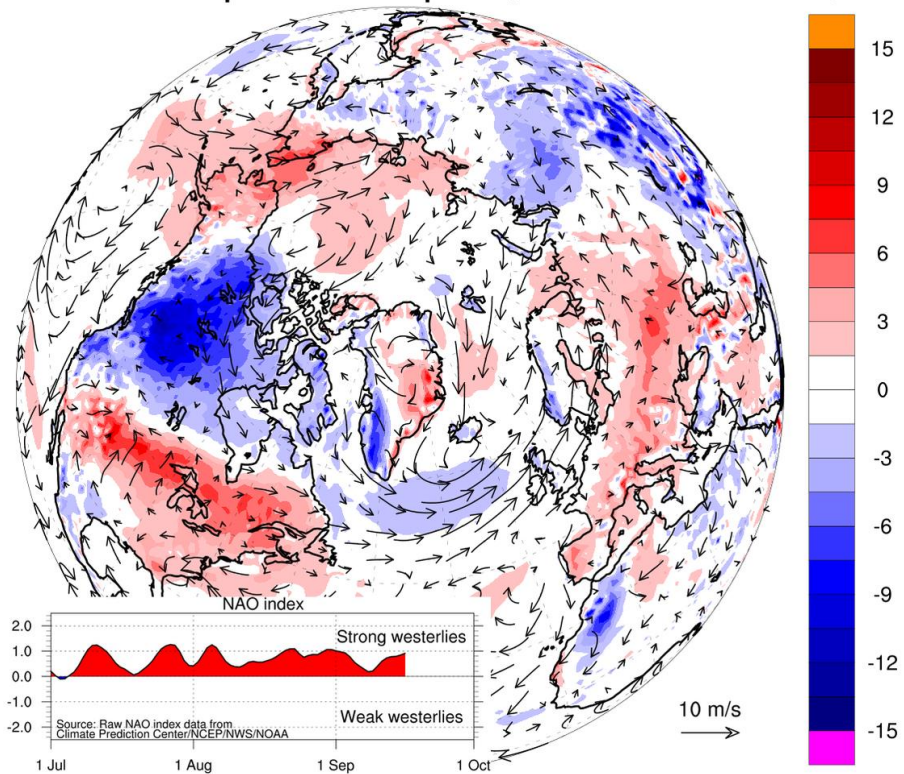
Sep 12 to Sep 16, 2019



ECMWF forecast: 2-m temperature and 10-m wind
T2m anomaly relative to ERA-Interim 2004-2013

polarportal.org

Sep 12 to Sep 16, 2018



ECMWF forecast: 2-m temperature and 10-m wind
T2m anomaly relative to ERA-Interim 2004-2013

polarportal.org

Рисунок 2е – Аномалии приземной температуры воздуха (2м) и осредненные вектора скорости ветра (10 м) за 12.09-16.09 2018-2019 гг. относительно периода 2004-2013 гг. (<http://polarportal.dk>)

Таблица 1 – Динамика изменения значений ледовитости по сравнению с предыдущей неделей для морей Северной полярной области за 09.09–15.09.2019 г. по данным наблюдений SSMR-SSM/I-SMIS

Регион	Северная полярная область	Сектор 45°W-95°E (Гренландское - Карское моря)	Сектор 95°E-170°W (моря Лаптевых - Чукотское, Берингово, Охотское)	Сектор 170°W-45°W (море Бофорта и Канадская Арктика)	Северный Ледовитый океан	Моря СМП (моря Карское-Чукотское)
Разность	-61.2	29.2	-65.5	-25.0	-57.7	4.8
тыс.кв.км/сут.	-8.7	4.2	-9.4	-3.6	-8.2	0.7

Таблица 2 - Медианные значения ледовитости для Северной полярной области, 3-х меридиональных секторов и моря СМП за текущие 30 и 7-дневные интервалы и её аномалии от 2012-2016 гг. и интервалов 2007-2017 гг. и 1978-2017 гг. по данным наблюдений SSMR-SSM/I-SSMIS, алгоритмы NASATEAM

Северная полярная область								
Месяц	S, тыс. км2	Аномалии, тыс км2/%						
		2014 г	2015 г	2016 г	2017 г	2018 г	2009-2019гг	1978-2019гг
16.08-15.09	4509.1	-960.3	-306.5	-105.7	-401.7	-485.3	-405.6	-1763.1
		-17.6	-6.4	-2.3	-8.2	-9.7	-8.3	-28.1
09-15.09	4257.5	-834.4	-199.4	25.4	-395.2	-391.1	-315.9	-1727.3
		-16.4	-4.5	0.6	-8.5	-8.4	-6.9	-28.9
Сектор 45°W-95°E (Гренландское - Карское моря)								
Месяц	S, тыс. км2	Аномалии, тыс км2/%						
		2014 г	2015 г	2016 г	2017 г	2018 г	2009-2019гг	1978-2019гг
16.08-15.09	1239.9	-226.2	65.1	45.9	67.0	290.6	31.9	-237.7
		-15.4	5.5	3.8	5.7	30.6	2.6	-16.1
09-15.09	1212.0	-199.7	15.4	52.1	157.3	229.7	38.1	-203.9
		-14.1	1.3	4.5	14.9	23.4	3.2	-14.4
Сектор 95°E-170°W (моря Лаптевых - Чукотское, Берингово, Охотское)								
Месяц	S, тыс. км2	Аномалии, тыс км2/%						
		2014 г	2015 г	2016 г	2017 г	2018 г	2009-2019гг	1978-2019гг
16.08-15.09	1123.1	-292.0	-274.6	-378.3	-462.2	-405.8	-342.2	-927.4
		-20.6	-19.6	-25.2	-29.2	-26.5	-23.4	-45.2
09-15.09	1016.4	-252.2	-165.7	-217.3	-457.6	-265.9	-263.5	-925.3
		-19.9	-14.0	-17.6	-31.0	-20.7	-20.6	-47.7
Сектор 170°W-45°W (море Бофорта и Канадская Арктика)								
Месяц	S, тыс. км2	Аномалии, тыс км2/%						
		2014 г	2015 г	2016 г	2017 г	2018 г	2009-2019гг	1978-2019гг
16.08-15.09	2146.1	-442.2	-97.0	226.7	-6.5	-370.1	-95.3	-598.0
		-17.1	-4.3	11.8	-0.3	-14.7	-4.3	-21.8
09-15.09	2029.1	-382.5	-49.0	190.6	-94.9	-355.0	-90.5	-598.2
		-15.9	-2.4	10.4	-4.5	-14.9	-4.3	-22.8
Северный Ледовитый океан								
Месяц	S, тыс. км2	Аномалии, тыс км2/%						
		2014 г	2015 г	2016 г	2017 г	2018 г	2009-2019гг	1978-2019гг
16.08-15.09	4422.5	-980.0	-280.8	-103.1	-396.5	-482.6	-412.0	-1765.6
		-18.1	-6.0	-2.3	-8.2	-9.8	-8.5	-28.5
09-15.09	4195.6	-829.8	-188.2	24.0	-383.7	-386.9	-309.2	-1711.7
		-16.5	-4.3	0.6	-8.4	-8.4	-6.9	-29.0
Моря СМП (моря Карское-Чукотское)								
Месяц	S, тыс. км2	Аномалии, тыс км2/%						
		2014 г	2015 г	2016 г	2017 г	2018 г	2009-2019гг	1978-2019гг
16.08-15.09	99.0	-302.8	-140.1	-354.3	-211.7	-249.8	-234.8	-837.5
		-75.4	-58.6	-78.2	-68.1	-71.6	-70.3	-89.4
09-15.09	98.1	-157.2	-37.9	-174.7	-160.8	-107.8	-126.1	-728.4
		-61.6	-27.9	-64.0	-62.1	-52.3	-56.2	-88.1

Таблица 3 – Экстремальные и средние значения ледовитости для Северной полярной области, 3 меридиональных секторов и моря СМП за текущий 7-дневный интервал по данным наблюдений SSMR-SSM/I-SSMIS, алгоритмы NASATEAM

Северная полярная область

Месяц	Минимальное знач.	Максимальное знач.	Среднее знач.	Медиана
09-15.09	3411.0 15.09.2012	7680.8 10.09.1980	5984.9	6134.8

Сектор 45°W-95°E (Гренландское - Карское моря)

Месяц	Минимальное знач.	Максимальное знач.	Среднее знач.	Медиана
09-15.09	845.8 15.09.2013	2046.4 11.09.1989	1415.9	1389.5

Сектор 95°E-170°W (моря Лаптевых - Чукотское, Берингово, Охотское)

Месяц	Минимальное знач.	Максимальное знач.	Среднее знач.	Медиана
09-15.09	703.5 13.09.2012	2887.3 09.09.1979	1941.6	1898.3

Сектор 170°W-45°W (море Бофорта и Канадская Арктика)

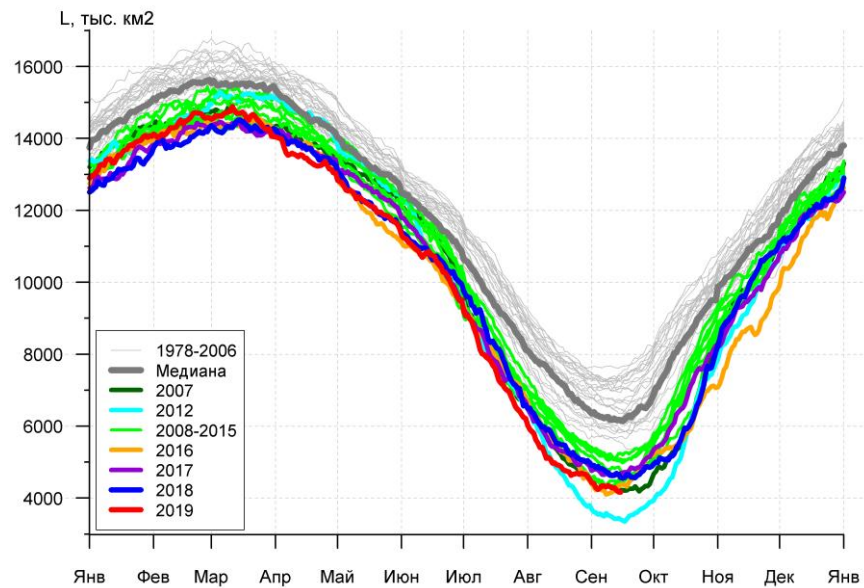
Месяц	Минимальное знач.	Максимальное знач.	Среднее знач.	Медиана
09-15.09	1608.4 10.09.2012	3358.9 12.09.1983	2627.3	2693.3

Северный Ледовитый океан

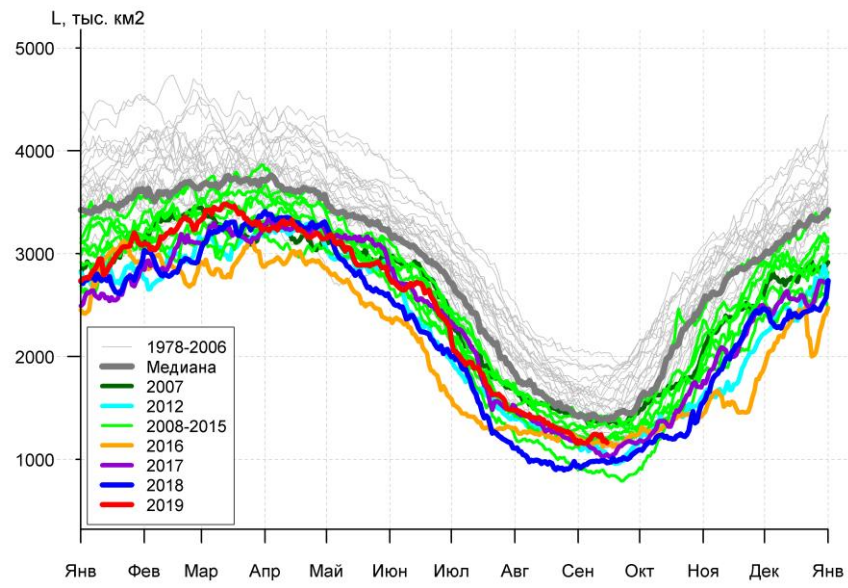
Месяц	Минимальное знач.	Максимальное знач.	Среднее знач.	Медиана
09-15.09	3340.1 15.09.2012	7593.1 10.09.1980	5907.3	6051.1

Моря СМП (моря Карское-Чукотское)

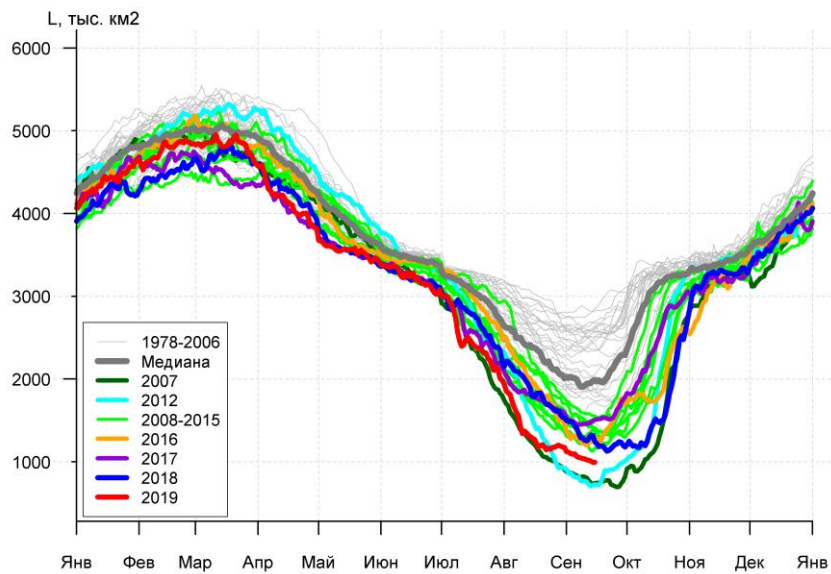
Месяц	Минимальное знач.	Максимальное знач.	Среднее знач.	Медиана
09-15.09	25.3 13.09.2012	1787.4 15.09.1996	826.6	759.0



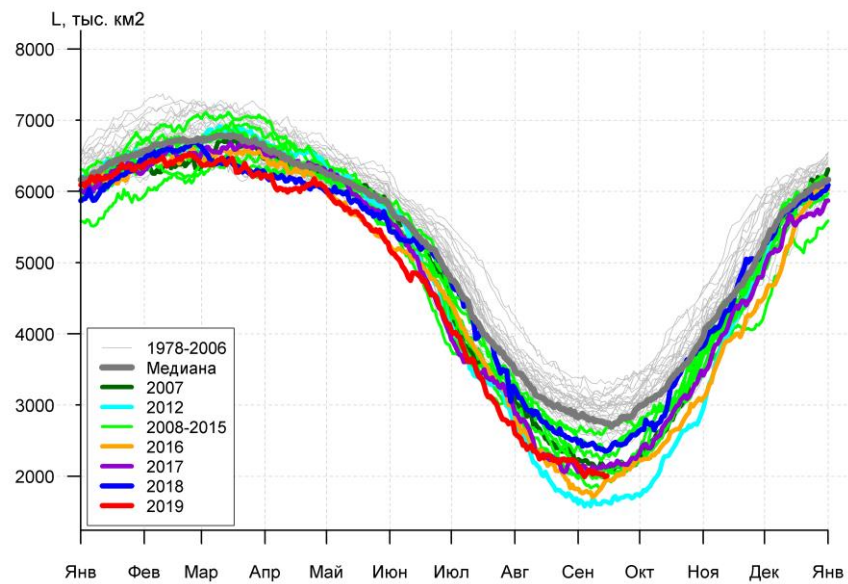
а)



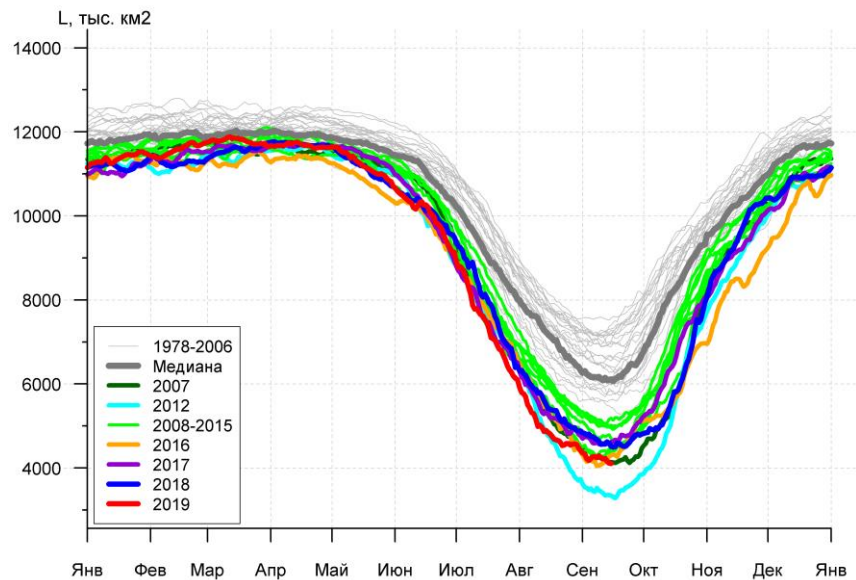
б)



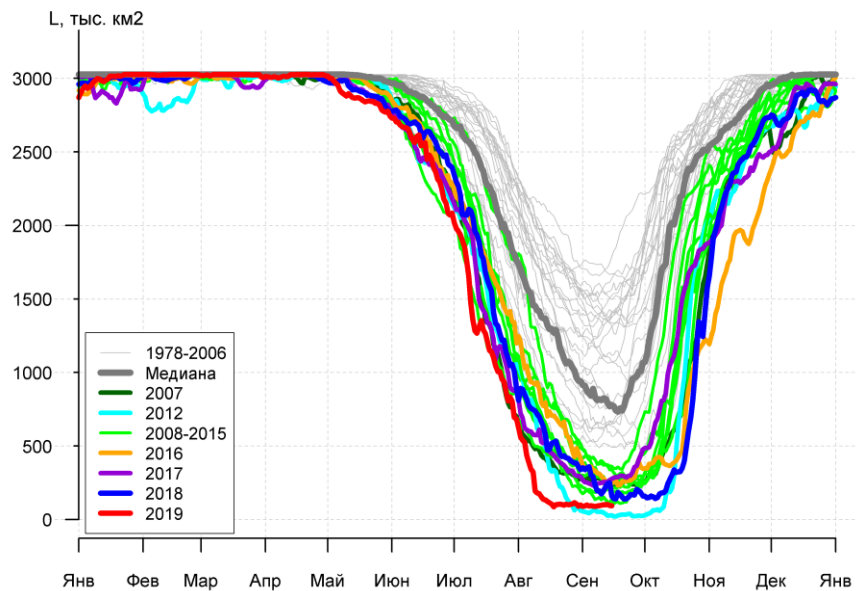
в)



г)



д)



е)

Рисунок 3а – Ежедневные оценки сезонного хода ледовитости для Северной Полярной Области и трех меридиональных секторов за период 26.10.1978 - 15.09.2019 по годам на основе расчетов по данным SSMR-SSM/I-SSMIS, алгоритмы NASATEAM: а) Северная полярная область, б) сектор 45°W-95°E (Гренландское – Карское моря), в) сектор 95°E-170°W (моря Лаптевых – Чукотское и Берингово, Охотское), г) сектор 170°W-45°W (море Бофорта и Канадская Арктика), д) Северный Ледовитый океан, е) Северный морской путь (Карское - Чукотское моря).

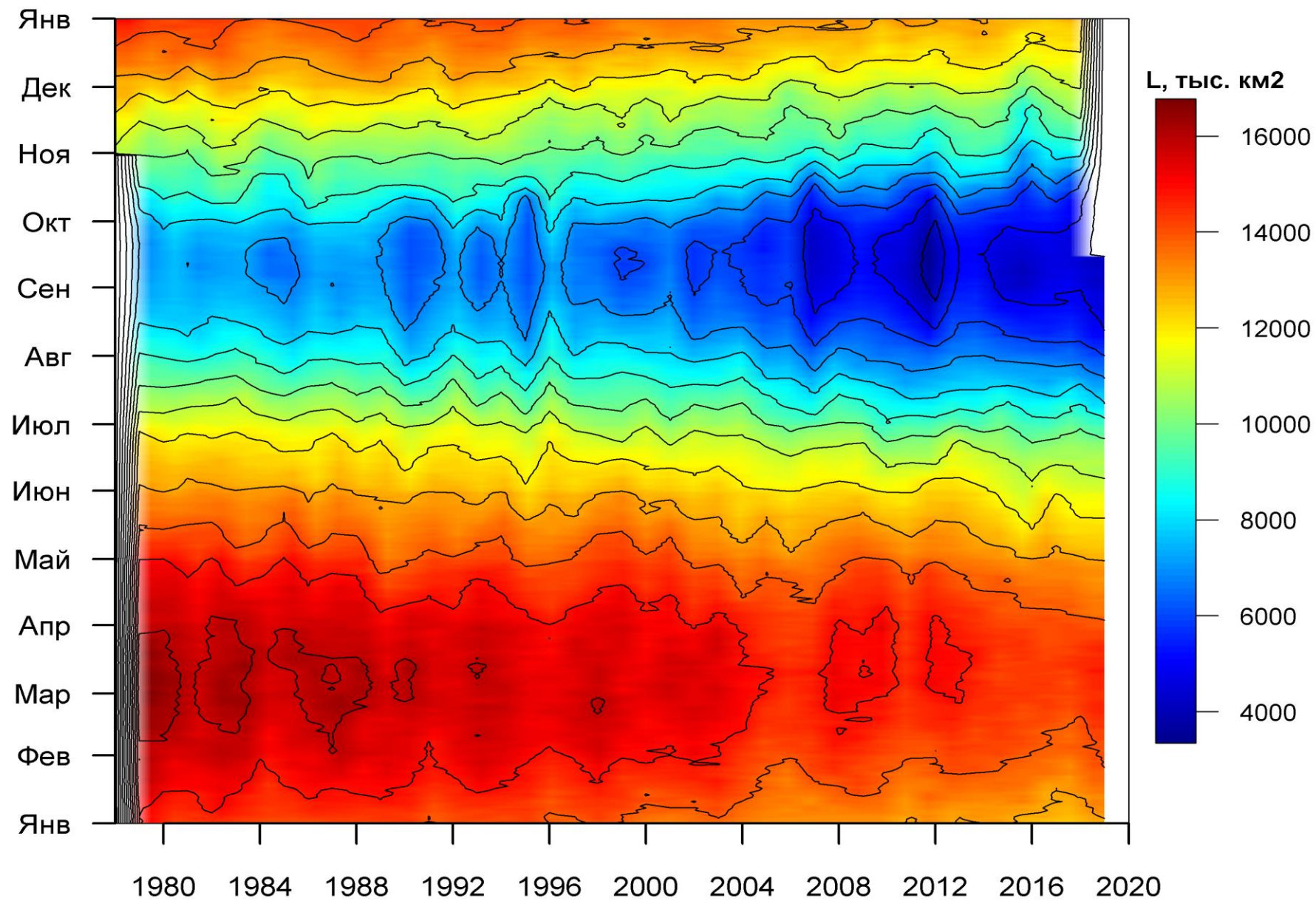


Рисунок 3б – Ежедневные оценки сезонных изменений ледовитости для Северной Полярной Области за период 26.10.1978 -15.09.2019 на основе расчетов по данным SSMR-SSM/I-SSMIS, алгоритм NASATEAM.

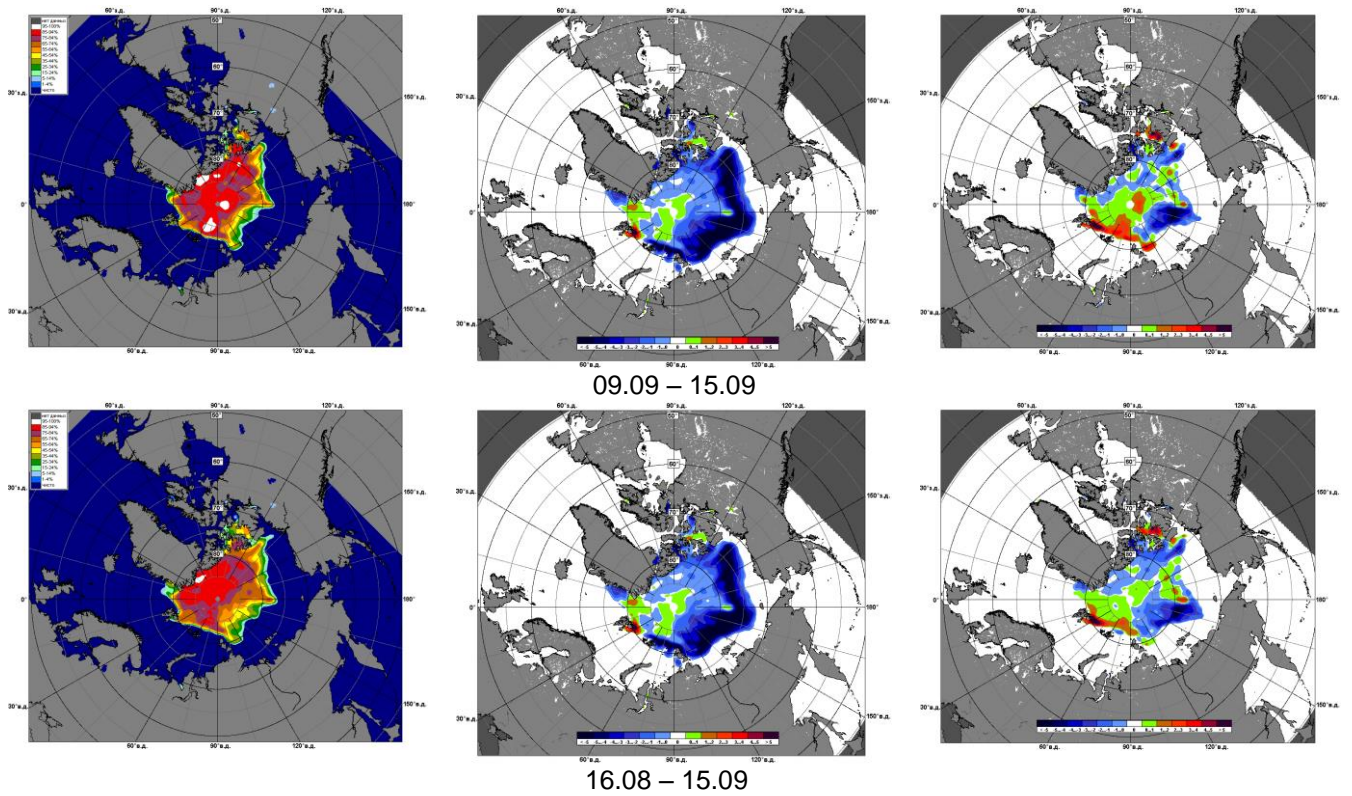


Рисунок 4 – Медианные распределения сплоченности льда за текущие 7 дневные промежутки и её разности относительно медианного распределения за те же промежутки за периоды 1979-2019 (центр) и 2009-2019 гг. (справа) на основе расчетов по данным SSMR-SSM/I-SSMIS, алгоритмы NASATEAM.

Южный океан

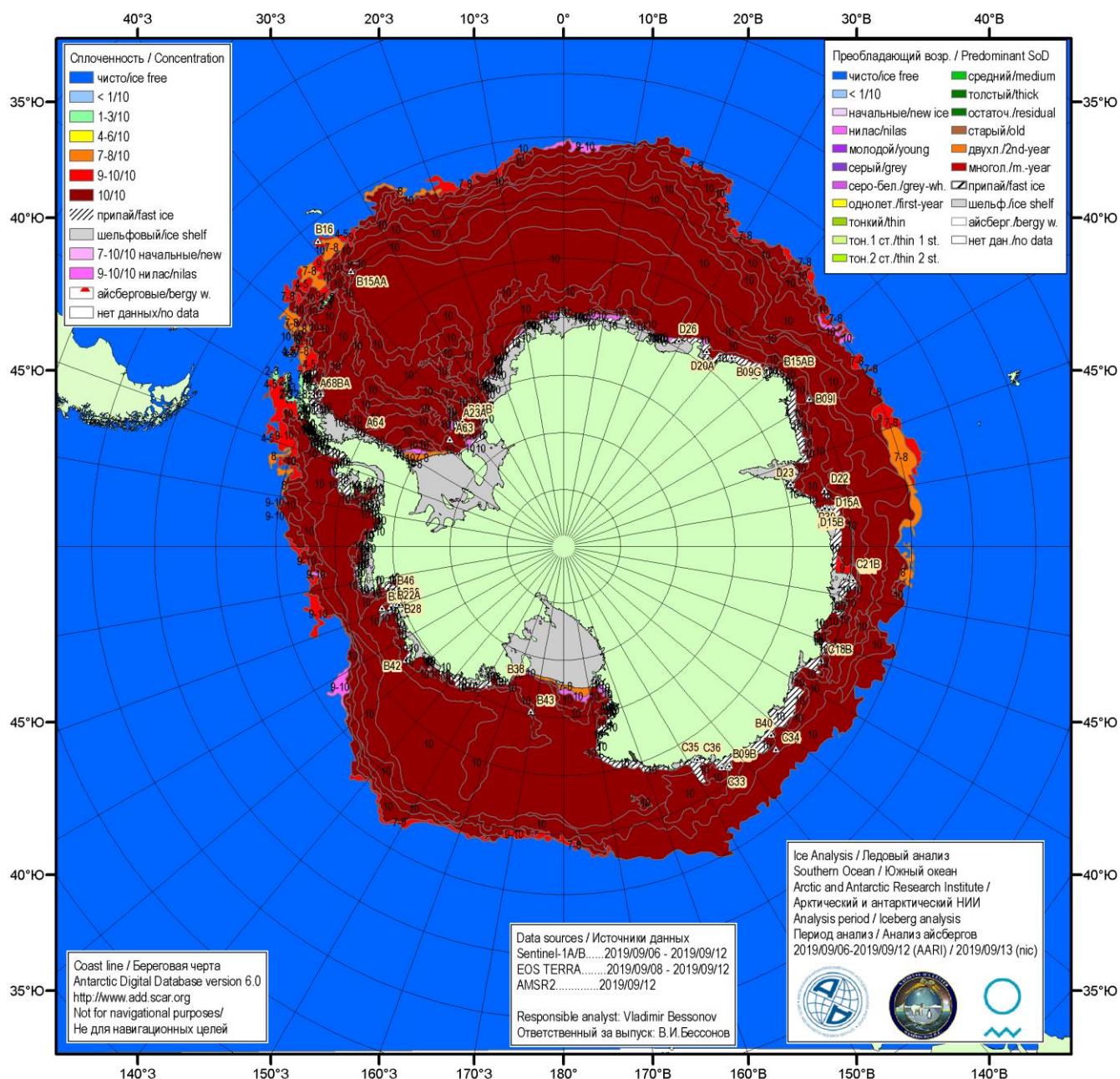


Рисунок 5а – Ледовая карта Южного океана (цветовая окраска по общей сплоченности) и расположение крупных айсбергов на основе информации совместного ледового анализа НЛЦ США, ААНИИ и НМИ (Норвегия) за 12.09.2019.

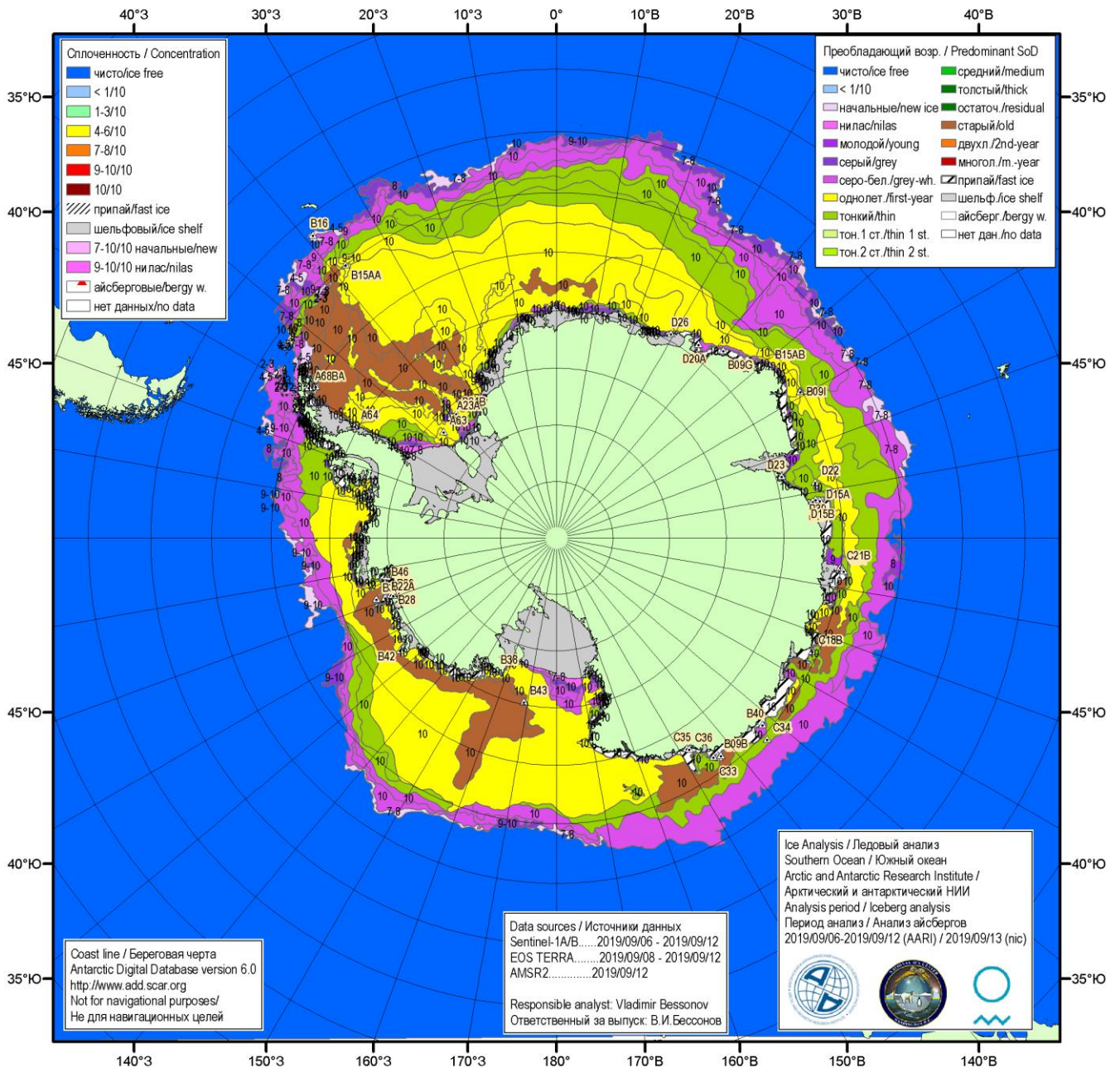


Рисунок 5б – Ледовая карта Южного океана (цветовая окраска по возрасту) и расположение крупных айсбергов на основе информации совместного ледового анализа НЛЦ США, ААНИИ и НМИ (Норвегия) за 12.09.2019.

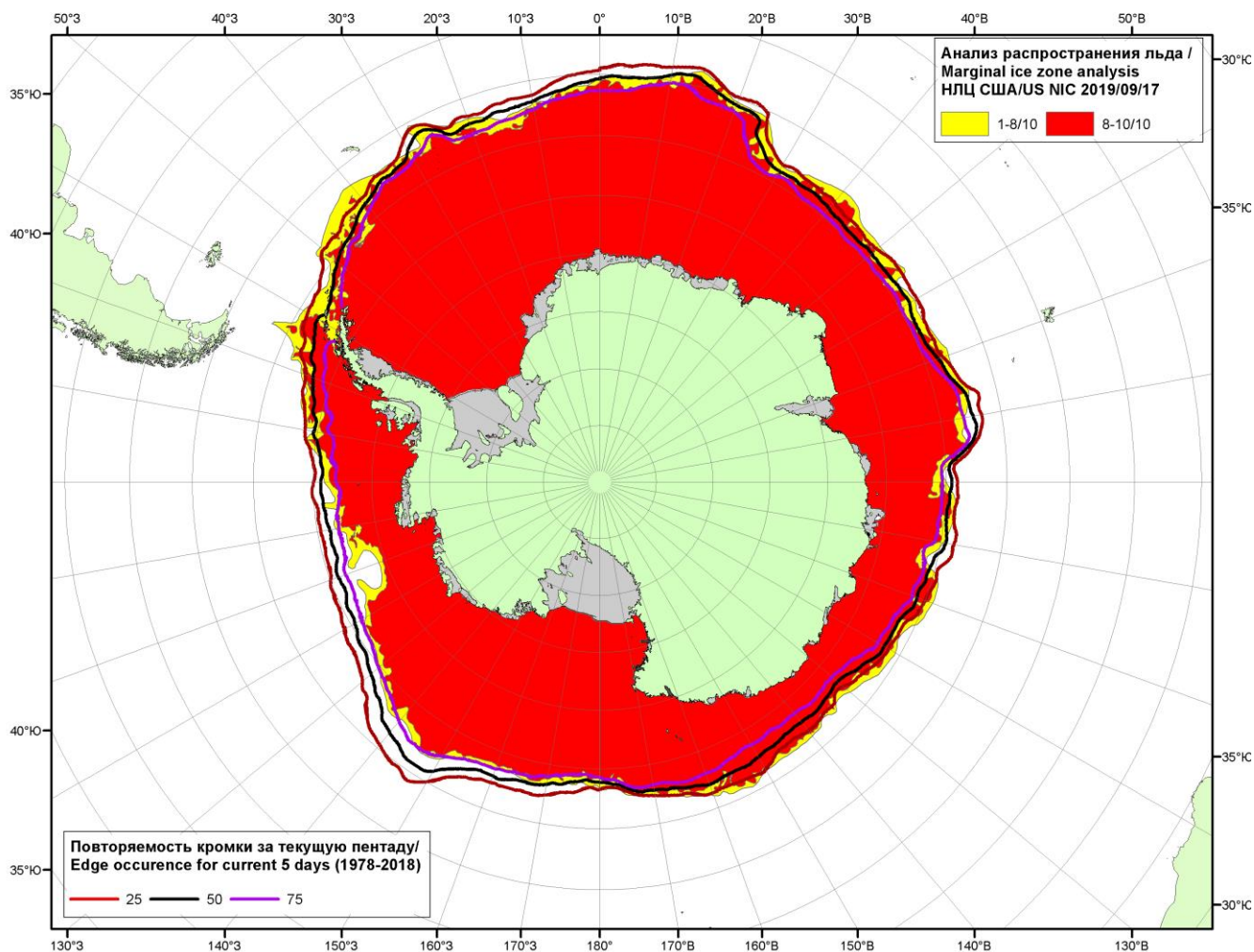


Рисунок 5в – Положение кромки льда и зон разреженных ($<8/10$) и сплоченных ($\geq 8/10$) льдов Южного океана за 17.09.2019 г. на основе ледового анализа Национального Ледового Центра США и повторяемость кромки за 16-20.09 за период 1979-2018 гг. по наблюдениям SSMR-SSM/I-SSMIS (алгоритм NASATEAM).

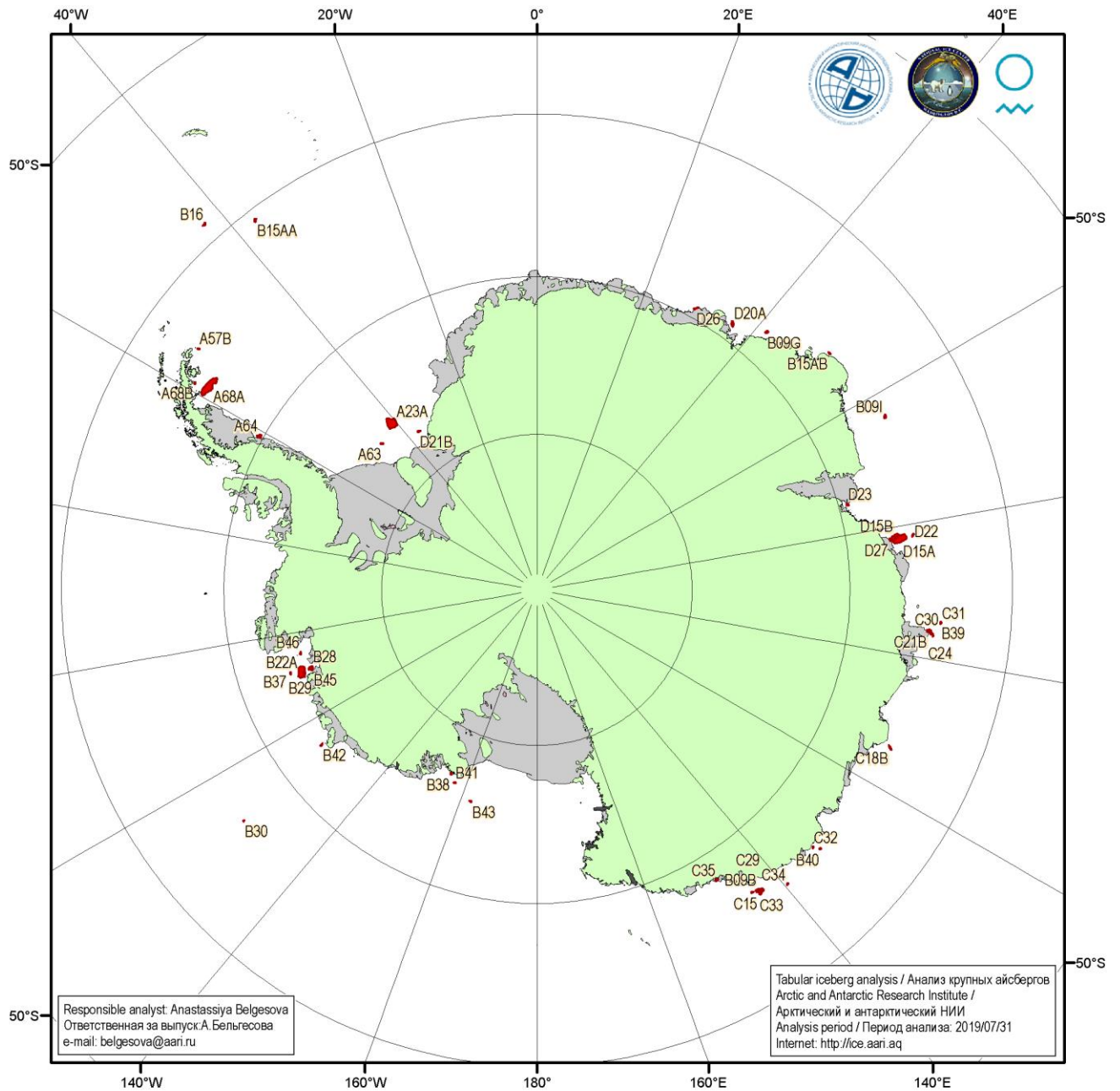
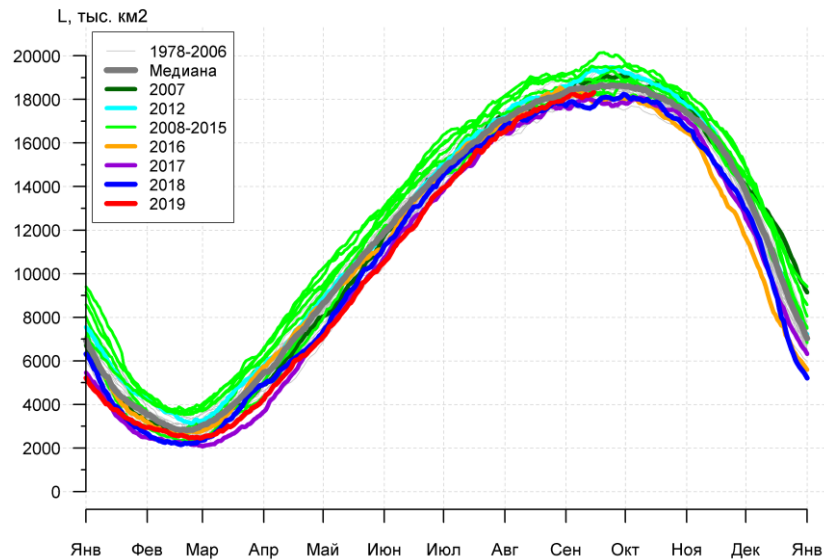


Рисунок 5д – Анализ ААНИИ крупных айсбергов Южного океана за 31.07.2019.

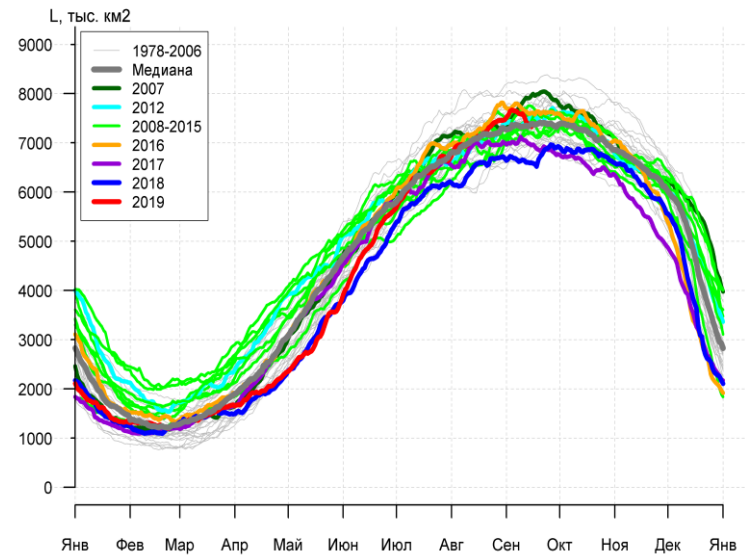
Таблица 4 – Параметры крупных айсбергов Южного океана на основе анализа ААНИИ за 31.07.2019

Table 4 - Southern Ocean tabular icebergs dimensions based on AARI analysis for 2019-07-31

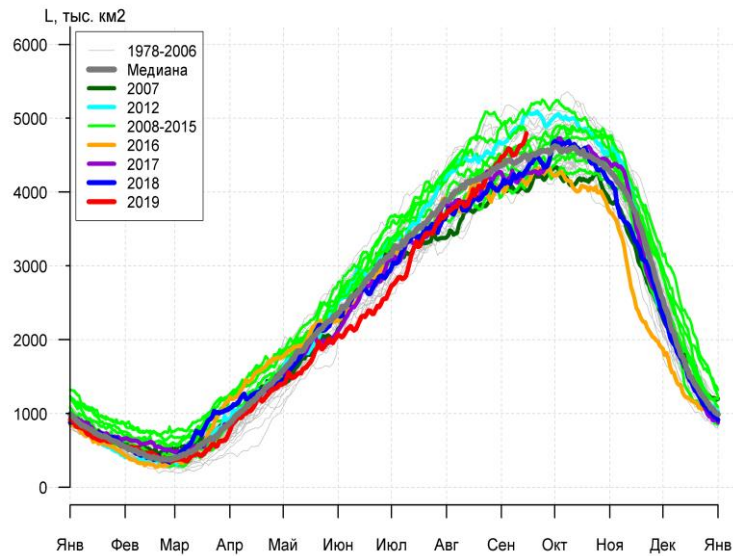
Имя/ Name	Длина/Length км/km	Ширина/Width км/km	Площадь/Area кв.км/sq.km	Имя/ Name	Длина/Length км/km	Ширина/Width км/km	Площадь/Area кв.км/sq.km
A68A	156	50	5796	B45	17	12	141
A23A	81	74	3996	A63	20	6	134
D15A	94	44	3587	B46	26	7	124
B22A	81	44	3192	D22	22	6	111
D15B	61	22	1185	B15AB	20	7	109
B09B	50	19	603	B29	20	9	108
A64	30	20	461	C34	19	9	107
D20A	39	17	455	B39	15	7	105
C15	26	19	341	C30	17	6	93
C21B	22	15	317	B43	19	9	93
C18B	37	7	243	B40	15	9	90
B09I	22	11	221	C33	15	7	88
B15AA	20	11	216	B38	11	7	87
B16	30	11	210	A68B	13	7	86
B09G	22	13	200	C24	20	6	85
B28	19	13	196	C31	17	6	84
D23	15	11	164	C29	13	9	83
D26	33	2	149	B37	15	6	82
C35	23	10	147	B41	15	7	82
D21B	20	7	147	C32	11	9	78
D27	15	11	147	A57B	13	7	70
B42	31	9	142	B30	46	31	45



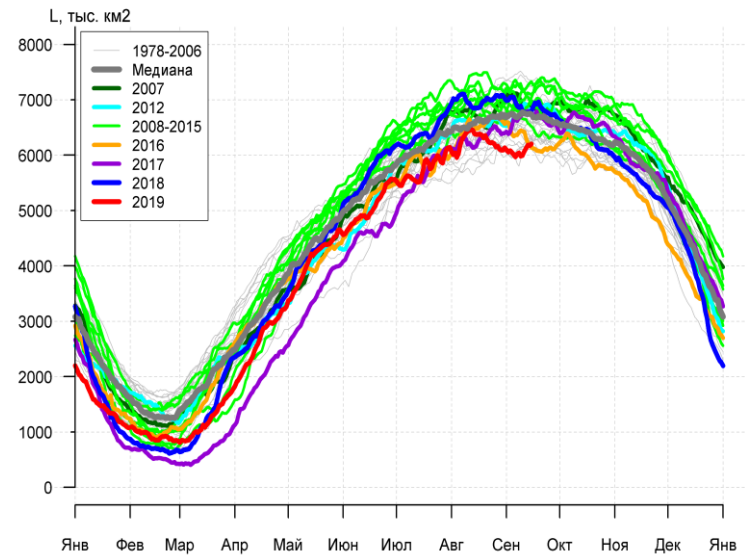
а)



б)



в)



г)

Рисунок 7а – Ежедневные оценки сезонного хода ледовитости Южного Океана и меридиональных секторов за период 26.10.1978 – 15.09.2019 по годам на основе расчетов по данным SSMR-SSM/I-SSMIS, алгоритм NASATEAM: а) Южный Океан, б) Атлантический сектор (60°W-30°E, море Уэдделла), в) Индоокеанский сектор (30°E-150°E, моря Космонавтов, Содружества, Моусона), г) Тихоокеанский сектор (150°E-60°W, моря Росса, Беллингаузена)

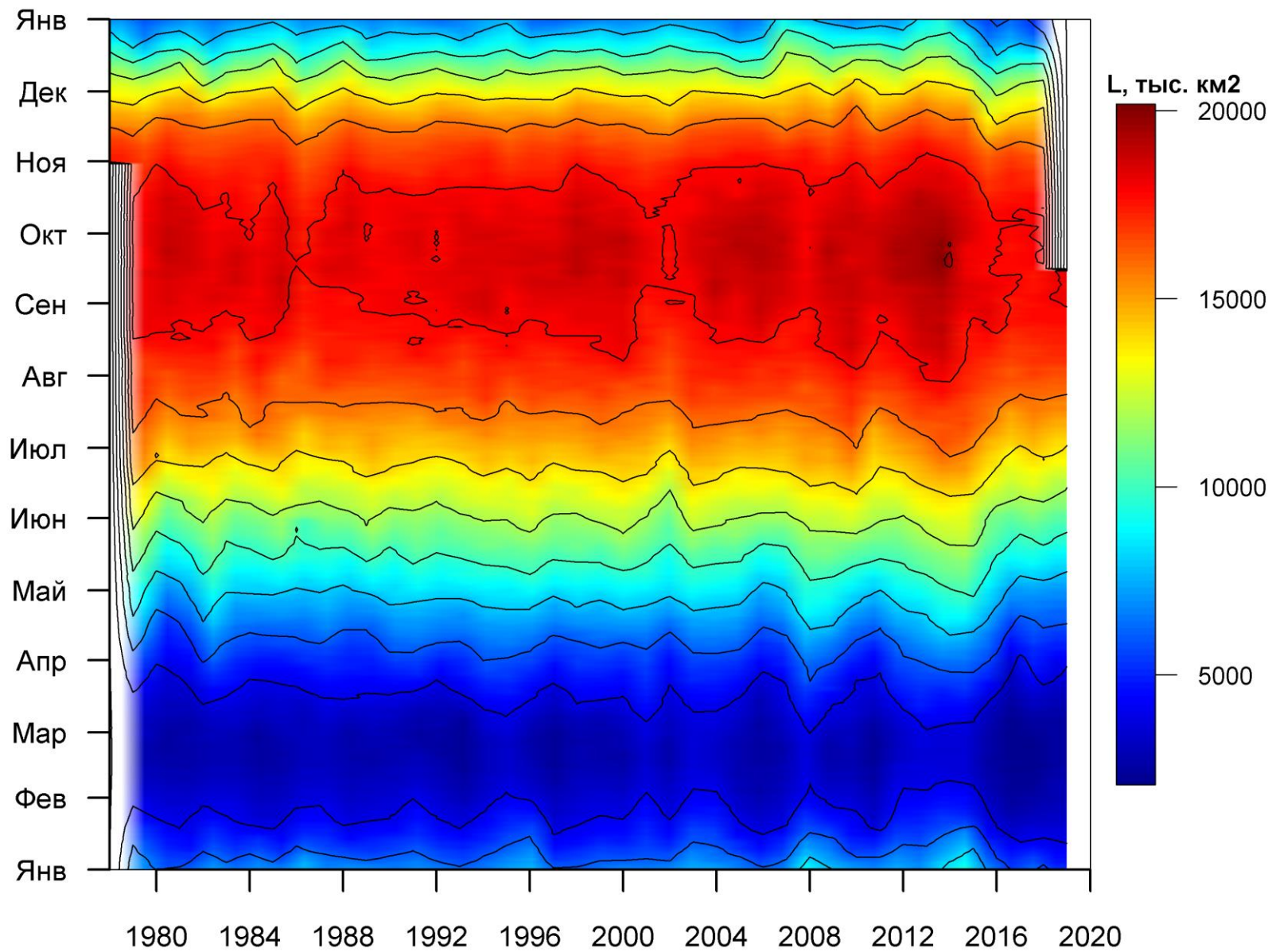


Рисунок 76 – Ежедневные оценки сезонных изменений ледовитости для Южного океана за период 26.10.1978 -15.09.2019 на основе расчетов по данным SSMR-SSM/I-SSMIS, алгоритм NASATEAM.

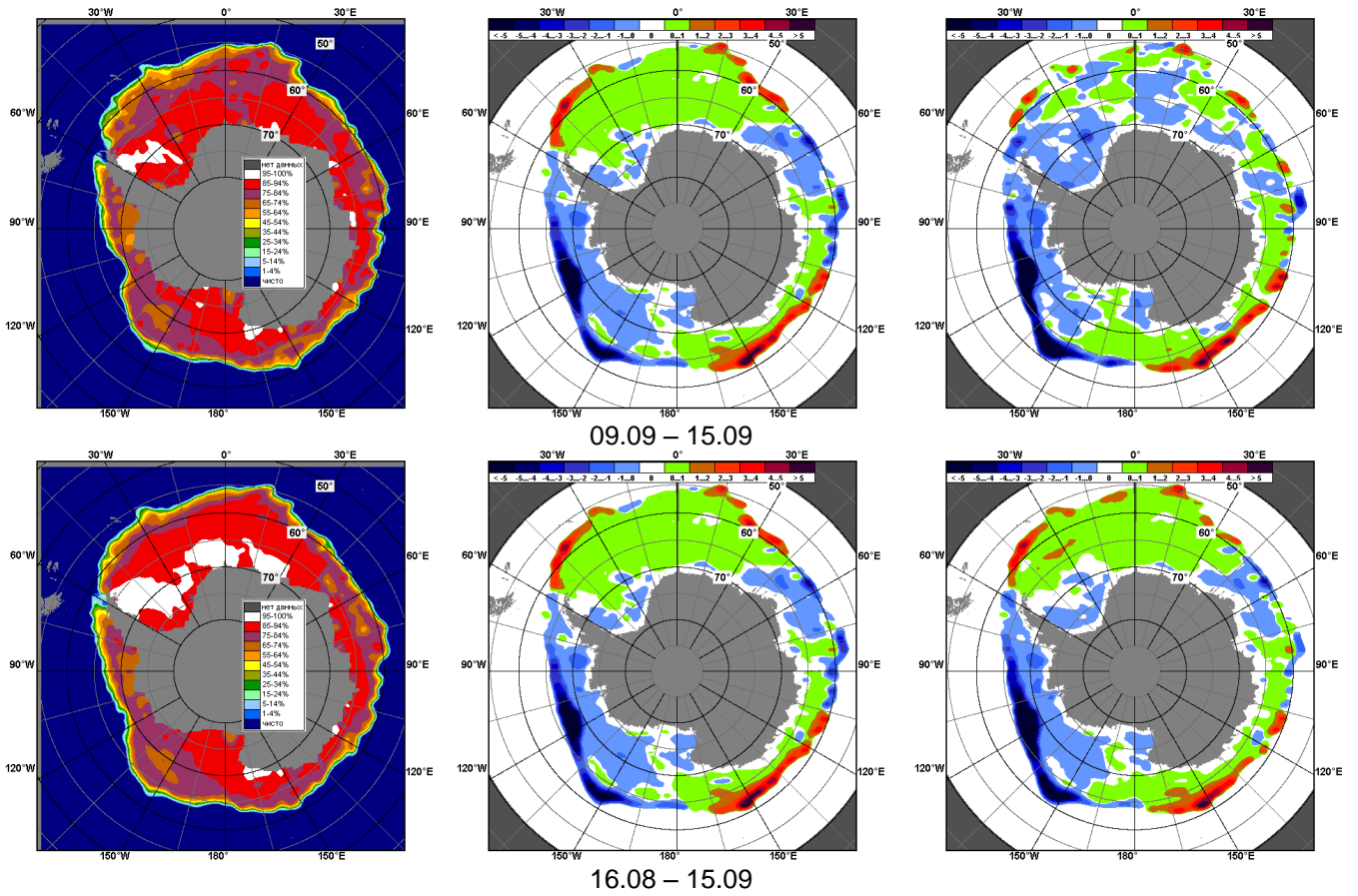


Рисунок 8 – Медианные распределения общей сплоченности льда за текущие 7 дневные промежутки (слева) и её разности относительно медианного распределения за тот же промежуток за периоды 1978-2019 (центр) и 2009-2019 гг. (справа) на основе расчетов по данным SSMR-SSM/I-SSMIS, алгоритм NASATEAM

Таблица 5 – Динамика изменения значений ледовитости по сравнению с предыдущей неделей для морей Южного океана за 09.09 -15.09.2019 г. по данным наблюдений SSMR-SSM/I-SSMIS

Регион	Южный Океан	Атлантический сектор	Индоканский сектор	Тихоокеанский сектор
Разность	6.9	-172.4	107.7	71.5
тыс.кв.км/сут.	1.0	-24.6	15.4	10.2

Таблица 6 - Медианные значения ледовитости для Южного океана и 3 меридиональных секторов за текущие 30 и 7-дневные интервалы и её аномалии от 2012-2016 гг. и интервалов 2007-2017 гг. и 1978-2017 гг. по данным наблюдений SSMR-SSM/I-SSMIS, алгоритм NASATEAM

Южный Океан

Месяц	S, тыс. км2	Аномалии, тыс км2/%						
		2014 г	2015 г	2016 г	2017 г	2018 г	2009-2019гг	1978-2019гг
16.08-15.09	17967.3	-1286.2	-193.7	-242.9	297.1	280.9	-436.4	-285.8
		-6.7	-1.1	-1.3	1.7	1.6	-2.4	-1.6
09-15.09	18203.1	-1445.8	-214.6	97.1	221.0	558.8	-437.2	-327.2
		-7.4	-1.2	0.5	1.2	3.2	-2.3	-1.8

Атлантический сектор (60°W-30°E, море Уэдделла)

Месяц	S, тыс. км2	Аномалии, тыс км2/%						
		2014 г	2015 г	2016 г	2017 г	2018 г	2009-2019гг	1978-2019гг
16.08-15.09	7432.1	79.4	211.8	-178.8	439.8	785.0	227.8	206.7
		1.1	2.9	-2.3	6.3	11.8	3.2	2.9
09-15.09	7458.7	-256.3	205.5	-185.0	427.3	840.1	141.4	105.6
		-3.3	2.8	-2.4	6.1	12.7	1.9	1.4

Индоканский сектор (30°E-150°E, моря Космонавтов, Содружества, Моусона)

Месяц	S, тыс. км2	Аномалии, тыс км2/%						
		2014 г	2015 г	2016 г	2017 г	2018 г	2009-2019гг	1978-2019гг
16.08-15.09	4381.5	-599.0	400.8	282.6	218.4	292.2	-18.0	14.6
		-12.0	10.1	6.9	5.2	7.1	-0.4	0.3
09-15.09	4640.7	-408.1	566.4	486.2	442.0	402.1	135.3	149.9
		-8.1	13.9	11.7	10.5	9.5	3.0	3.3

Тихоокеанский сектор (150°E-60°W, моря Росса, Беллингаузена)

Месяц	S, тыс. км2	Аномалии, тыс км2/%						
		2014 г	2015 г	2016 г	2017 г	2018 г	2009-2019гг	1978-2019гг
16.08-15.09	6153.6	-766.6	-803.0	-346.7	-361.1	-797.8	-645.9	-507.1
		-11.1	-11.5	-5.3	-5.5	-11.5	-9.5	-7.6
09-15.09	6103.7	-781.5	-986.6	-204.3	-648.3	-690.0	-714.5	-582.9
		-11.4	-13.9	-3.2	-9.6	-10.2	-10.5	-8.7

Таблица 7 – Экстремальные значения ледовитости для Южного океана и 3 меридиональных секторов за текущий 7-дневный интервал по Южный Океан

Южный Океан

Месяц	Минимальное знач.	Максимальное знач.	Среднее знач.	Медиана
09-15.09	17593.5 13.09.2018	19839.6 15.09.2014	18530.3	18501.9

Атлантический сектор (60°W-30°E, море Уэдделла)

Месяц	Минимальное знач.	Максимальное знач.	Среднее знач.	Медиана
09-15.09	6586.4 13.09.1990	8234.2 10.09.1980	7353.1	7325.6

Индоканский сектор (30°E-150°E, моря Космонавтов, Содружества, Моусона)

Месяц	Минимальное знач.	Максимальное знач.	Среднее знач.	Медиана
09-15.09	3936.3 09.09.2000	5125.8 09.09.1982	4490.7	4421.5

Тихоокеанский сектор (150°E-60°W, моря Росса, Беллингаузена)

Месяц	Минимальное знач.	Максимальное знач.	Среднее знач.	Медиана
09-15.09	5921.7 09.09.1987	7516.8 09.09.2000	6686.6	6739.9

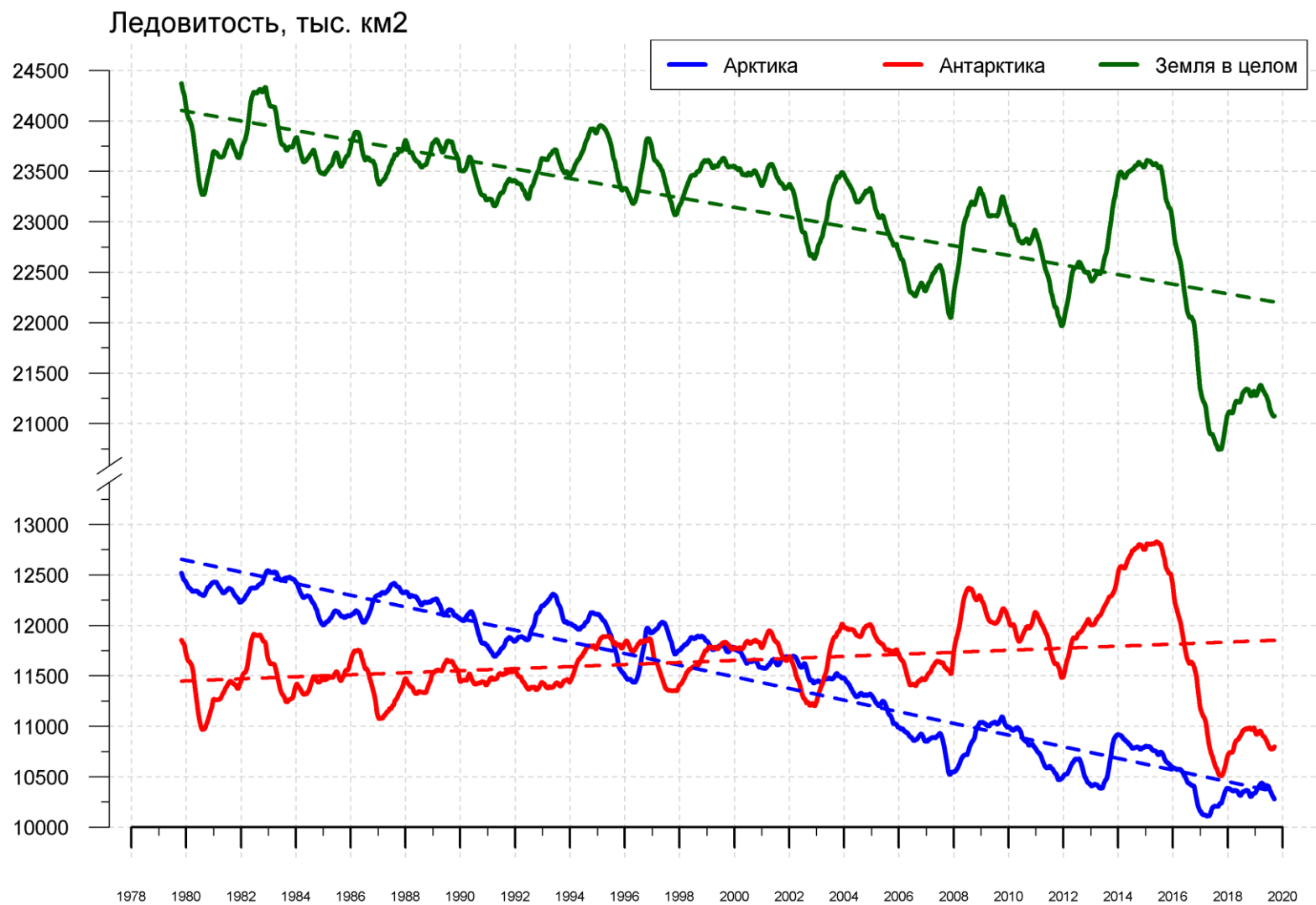


Рисунок 9 – Ежедневные сглаженные окном 365 суток значения приведенной ледовитости (площади морского льда) Арктики, Антарктики и Земли в целом с 26.10.1978 по 15.09.2019 на основе SSMR-SSM/I-SSMIS

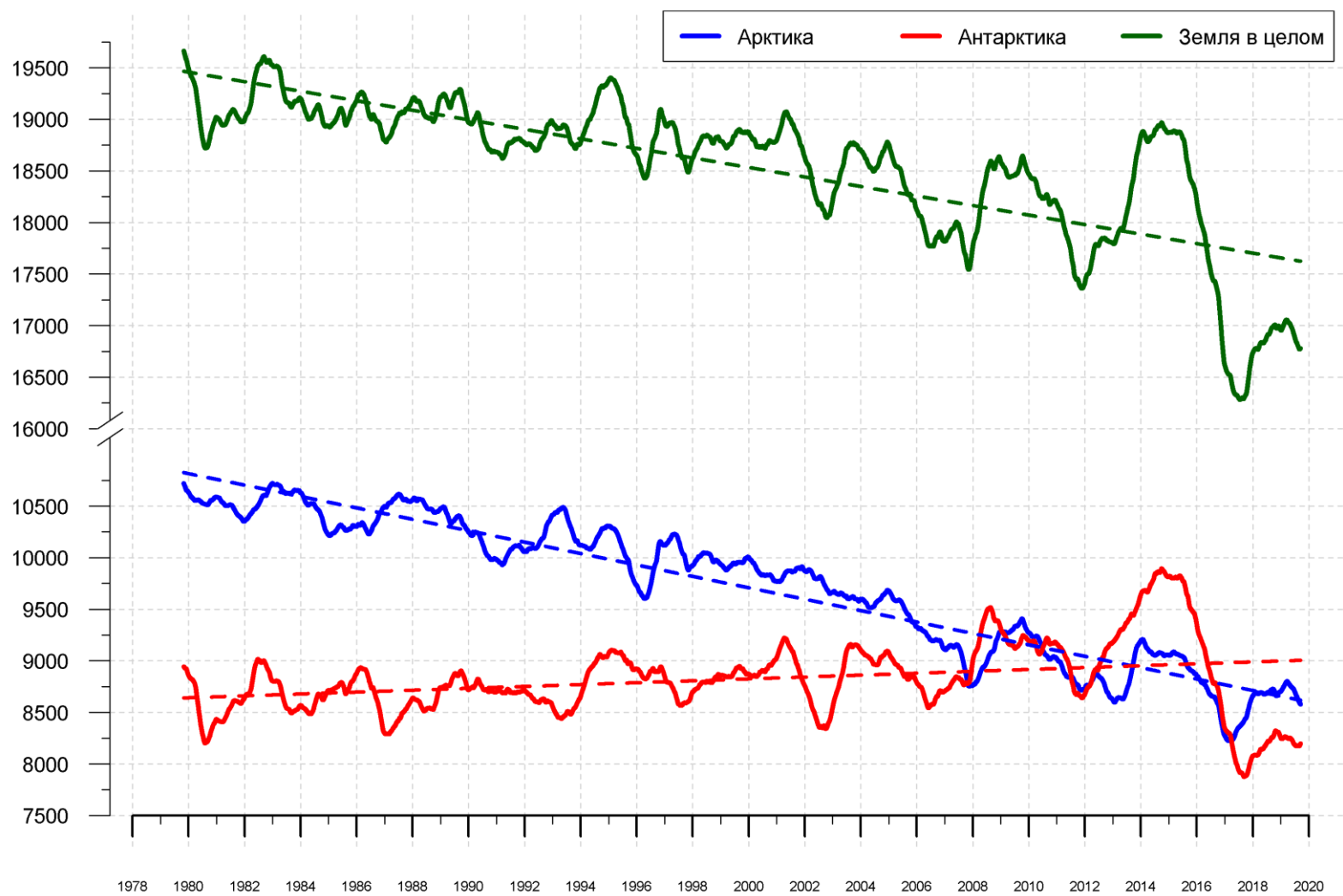


Рисунок 10 – Ежедневные сглаженные окном 365 суток значения ледовитости (площади распространения морского льда) Арктики, Антарктики и Земли в целом с 26.10.1978 по 15.09.2019 на основе SSMR-SSM/I-SSMIS

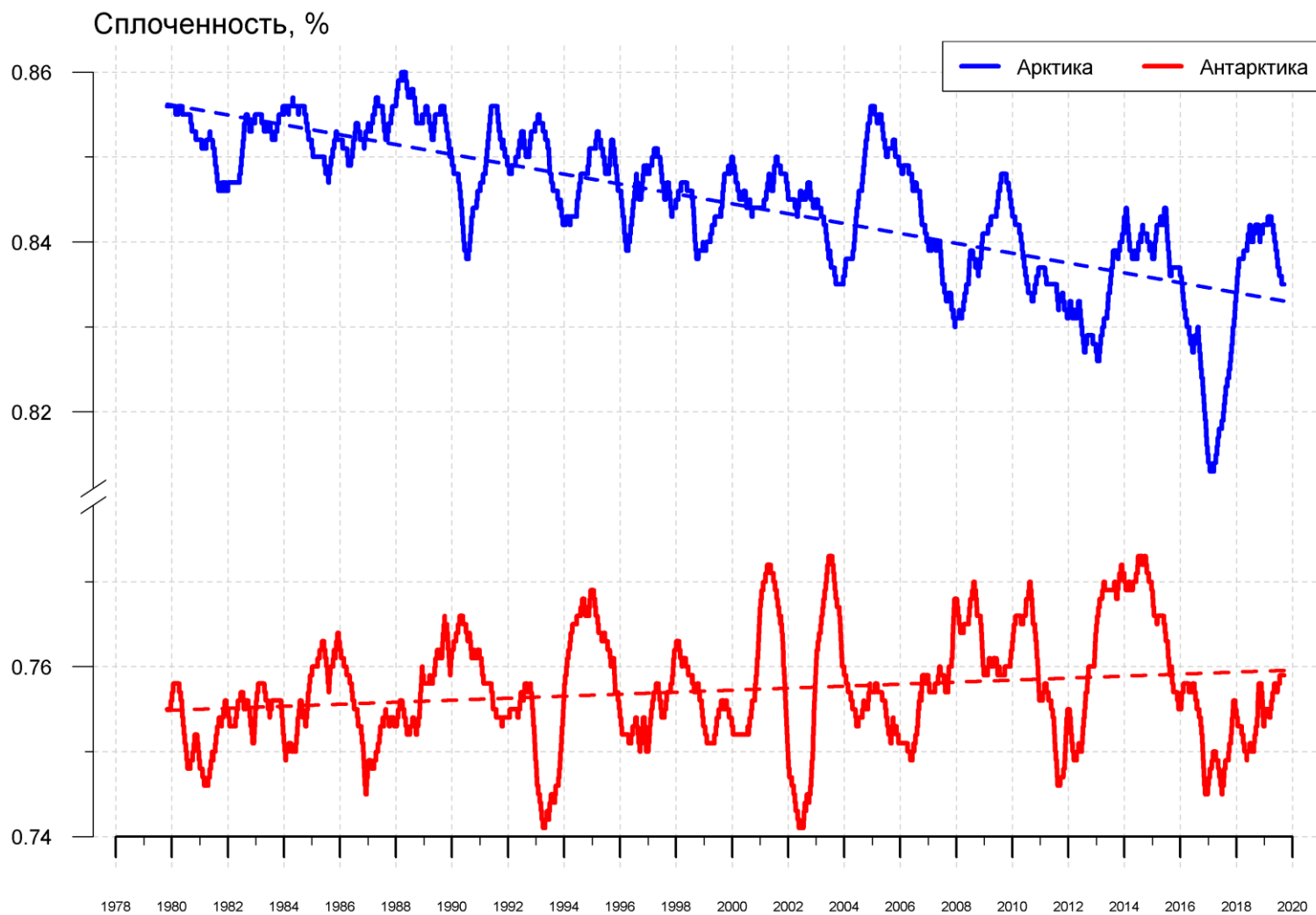


Рисунок 11 – Ежедневные сглаженные окном 365 суток значения средней общей сплоченности Арктики и Антарктики с 26.10.1978 по 15.09.2019 на основе SSMR-SSM/I-SSMIS

Приложение 1 – Статистические значения ледовитостей по отдельным акваториям Северной Полярной Области и Южного океана

Таблица 8 – Средние, аномалии среднего и экстремальные значения ледовитостей для Северной полярной области и её отдельных акваторий за текущие 7-дневный (неделя) и 30-дневный промежутки времени по данным наблюдений SSMR-SSM/I-SSMIS, алгоритм NASATEAM за период 1978-2017 гг.

09-15.09

Регион	S, тыс. км2	Аномалии, тыс км2/%							1978-2019гг			
		2012 г	2007 г	2016 г	2017 г	2018 г	2009-2019гг	1978-2019гг	Минимум дата	Максимум дата	Среднее	Медиана
Сев. полярная область	4257.5	798.6	-21.0	25.4	-395.2	-391.1	-315.9	-1727.3	3411.0	7680.8	5984.9	6134.8
		23.1	-0.5	0.6	-8.5	-8.4	-6.9	-28.9	15.09.2012	10.09.1980		
Сектор 45°W-95°E	1212.0	123.3	-157.2	52.1	157.3	229.7	38.1	-203.9	845.8	2046.4	1415.9	1389.5
		11.3	-11.5	4.5	14.9	23.4	3.2	-14.4	15.09.2013	11.09.1989		
Гренландское море	193.3	-127.8	-197.5	-44.7	69.3	67.4	-41.3	-87.2	88.9	472.4	280.5	282.5
		-39.8	-50.5	-18.8	55.9	53.6	-17.6	-31.1	09.09.2003	12.09.1995		
Баренцево море	24.4	22.9	20.8	23.1	19.5	23.5	2.4	-25.3	0.0	232.1	49.8	29.5
		1468.8	568.0	1738.7	400.0	2571.9	10.8	-50.9	09.09.2015	11.09.1982		
Карское море	10.8	-4.0	-10.4	-2.6	-8.4	0.2	-11.7	-135.8	3.8	442.0	146.6	117.8
		-26.9	-49.1	-19.2	-43.6	1.7	-51.9	-92.6	09.09.1995	09.09.1980		
Сектор 95°E-170°W	1016.4	277.6	240.5	-217.3	-457.6	-265.9	-263.5	-925.3	703.5	2887.3	1941.6	1898.3
		37.6	31.0	-17.6	-31.0	-20.7	-20.6	-47.7	13.09.2012	09.09.1979		
Море Лаптевых	81.8	63.4	-131.6	-84.1	-72.7	69.6	12.0	-133.8	7.0	567.2	215.7	194.9
		344.1	-61.6	-50.7	-47.1	568.5	17.2	-62.1	13.09.2014	09.09.1979		
Восточно-Сибирское море	4.7	0.3	-0.5	-43.4	-79.7	-174.8	-119.3	-355.1	1.2	836.8	359.8	284.4
		6.8	-9.8	-90.2	-94.4	-97.4	-96.2	-98.7	11.09.2007	15.09.1979		
Чукотское море	0.8	-0.5	-13.7	-44.6	0.0	-2.7	-7.1	-103.7	0.6	388.5	104.4	66.4
		-37.2	-94.7	-98.3	0.0	-78.0	-90.2	-99.3	09.09.2004	10.09.1983		
Берингово море	0.9	0.8	-11.8	-0.4	-0.1	-1.5	-0.3	-4.7	0.0	25.8	5.6	4.2
		900.0	-93.2	-31.0	-9.1	-64.3	-24.4	-84.6	09.09.2012	10.09.1981		
Сектор 170°W-45°W	2029.1	397.7	-104.3	190.6	-94.9	-355.0	-90.5	-598.2	1608.4	3358.9	2627.3	2693.3
		24.4	-4.9	10.4	-4.5	-14.9	-4.3	-22.8	10.09.2012	12.09.1983		
Море Бофорта	67.5	61.9	-63.9	49.5	-26.5	-120.2	-43.9	-144.2	3.2	459.8	211.7	211.8
		1111.8	-48.6	274.5	-28.2	-64.0	-39.4	-68.1	09.09.2012	10.09.1991		
Гудзонов залив	6.5	-3.6	-10.4	-0.1	-7.7	-1.0	-5.2	-18.4	4.2	78.9	24.9	22.2
		-35.7	-61.6	-0.9	-54.3	-13.4	-44.5	-74.0	09.09.2016	13.09.1985		
Море Лабрадор	0.0	0.0	-4.6	-0.1	0.0	0.0	-0.5	-4.1	0.0	23.4	4.1	2.7
		-	-100.0	-100.0	-	-	-100.0	-100.0	09.09.1997	10.09.1986		
Дейвисов пролив	8.8	-11.5	-2.9	-0.9	-8.7	-2.3	-5.9	-10.6	3.6	87.3	19.3	16.5
		-56.8	-24.6	-9.0	-49.7	-20.9	-40.1	-54.6	15.09.2018	15.09.1983		
Канадский архипелаг	389.8	166.5	123.9	11.2	-29.3	-101.2	13.7	-55.2	191.1	668.6	445.0	441.3
		74.6	46.6	3.0	-7.0	-20.6	3.6	-12.4	12.09.2012	13.09.1979		

16.08-15.09

Регион	S, тыс. км2	Аномалии, тыс км2/%							1978-2019гг			
		2012 г	2007 г	2016 г	2017 г	2018 г	2009-2019гг	1978-2019гг	Минимум дата	Максимум дата	Среднее	Медиана
Сев. полярная область	4509.1	620.1	-135.6	-105.7	-401.7	-485.3	-405.6	-1763.1	3411.0	8237.8	6272.2	6454.9
		15.9	-2.9	-2.3	-8.2	-9.7	-8.3	-28.1	15.09.2012	16.08.1996		
Сектор 45°W-95°E	1239.9	55.8	-189.2	45.9	67.0	290.6	31.9	-237.7	845.8	2183.2	1477.6	1433.8
		4.7	-13.2	3.8	5.7	30.6	2.6	-16.1	15.09.2013	19.08.1981		
Гренландское море	223.6	-87.3	-151.5	7.6	86.2	94.7	-8.7	-60.6	77.2	565.5	284.2	284.0
		-28.1	-40.4	3.5	62.7	73.4	-3.8	-21.3	24.08.2002	19.08.1981		
Баренцево море	30.8	26.4	12.2	26.4	11.3	27.5	5.5	-29.2	0.0	242.4	60.0	39.3
		597.6	65.5	593.5	57.9	831.5	21.7	-48.6	26.08.2015	26.08.1982		
Карское море	10.7	-2.9	-45.1	-7.1	-13.9	-0.2	-22.0	-166.3	3.8	534.1	177.0	139.8
		-21.1	-80.8	-39.7	-56.4	-1.4	-67.2	-93.9	04.09.2019	16.08.1980		
Сектор 95°E-170°W	1123.1	140.5	192.7	-378.3	-462.2	-405.8	-342.2	-927.4	703.5	3030.4	2050.5	2067.0
		14.3	20.7	-25.2	-29.2	-26.5	-23.4	-45.2	13.09.2012	16.08.1996		
Море Лаптевых	82.5	42.5	-144.1	-166.4	-78.0	67.0	-14.3	-154.7	6.4	581.8	237.2	231.8
		106.3	-63.6	-66.9	-48.6	431.7	-14.8	-65.2	29.08.2018	16.08.1996		
Восточно-Сибирское море	4.5	-25.6	-1.3	-97.7	-111.3	-305.2	-179.0	-397.3	0.6	874.5	401.8	369.4
		-85.0	-22.4	-95.6	-96.1	-98.5	-97.5	-98.9	24.08.2007	16.08.1996		
Чукотское море	1.3	-34.4	-5.9	-83.1	-8.5	-11.4	-19.5	-119.2	0.0	388.5	120.4	90.2
		-96.4	-82.3	-98.5	-86.9	-89.9	-93.9	-98.9	23.08.2009	10.09.1983		
Берингово море	2.7	2.5	-1.7	0.2	0.8	0.5	1.2	-0.3	0.0	25.8	3.0	0.0
		1866.7	-38.8	8.1	41.4	24.6	86.8	-10.3	16.08.1979	10.09.1981		
Сектор 170°W-45°W	2146.1	423.8	-139.1	226.7	-6.5	-370.1	-95.3	-598.0	1577.1	3629.8	2744.2	2857.6
		24.6	-6.1	11.8	-0.3	-14.7	-4.3	-21.8	04.09.2012	16.08.1992		
Море Бофорта	86.4	71.0	-66.7	60.5	-32.6	-111.0	-42.1	-146.3	3.2	478.5	232.7	229.7
		462.2	-43.6	233.5	-27.4	-56.2	-32.8	-62.9	09.09.2012	25.08.1991		
Гудзонов залив	16.6	-5.0	-5.7	-2.2	-3.1	-1.9	-3.5	-13.9	3.0	114.9	30.5	28.2
		-23.1	-25.5	-11.6	-15.6	-10.4	-17.6	-45.6	01.09.2019	27.08.1980		
Море Лабрадор	1.1	1.1	-2.8	0.1	-0.1	-0.1	-0.1	-2.9	0.0	28.7	4.1	2.8
		-	-71.5	12.9	-6.6	-6.6	-6.4	-72.2	16.08.2001	07.09.1988		
Дейвисов пролив	13.2	-2.6	-7.1	-2.8	-3.6	-2.3	-4.2	-11.7	3.6	161.5	24.8	19.4
		-16.3	-34.9	-17.4	-21.4	-15.0	-24.1	-46.9	15.09.2018	17.08.1983		
Канадский архипелаг	403.0	107.3	106.2	48.4	-30.5	-148.1	-11.6	-91.4	191.1	888.1	494.4	497.0
		36.3	35.8	13.6	-7.0	-26.9	-2.8	-18.5	12.09.2012	16.08.1992		

Таблица 9 – Средние, аномалии среднего и экстремальные значения ледовитостей для Южного океана и его отдельных акваторий за текущие 7-дневный (неделя) и 30-дневный промежутки времени по данным наблюдений SSMR-SSM/I-SSMIS, алгоритм NASATEAM за период 1978-2017 гг.
09-15.09

Регион	S, тыс. км2	Аномалии, тыс км2/%							1978-2019гг			
		2012 г	2007 г	2016 г	2017 г	2018 г	2009-2019гг	1978-2019гг	Минимум дата	Максимум дата	Среднее	Медиана
Южный Океан	18203.1	-1020.5	-617.1	97.1	221.0	558.8	-437.2	-327.2	17593.5	19839.6	18530.3	18501.9
		-5.3	-3.3	0.5	1.2	3.2	-2.3	-1.8	13.09.2018	15.09.2014		
Атлантический сектор	7458.7	20.9	-420.8	-185.0	427.3	840.1	141.4	105.6	6586.4	8234.2	7353.1	7325.6
		0.3	-5.3	-2.4	6.1	12.7	1.9	1.4	13.09.1990	10.09.1980		
Западная часть моря Уэдделла	2523.6	149.2	-123.7	138.6	244.5	481.6	80.4	61.7	1990.5	3128.7	2461.9	2430.6
		6.3	-4.7	5.8	10.7	23.6	3.3	2.5	14.09.2018	09.09.1980		
Восточная часть моря Уэдделла	4935.1	-128.2	-297.0	-323.5	182.8	358.4	61.5	44.0	4202.4	5637.1	4891.1	4888.1
		-2.5	-5.7	-6.2	3.8	7.8	1.3	0.9	11.09.1999	14.09.1992		
Индоокеанский сектор	4640.7	-298.7	609.5	486.2	442.0	402.1	135.3	149.9	3936.3	5125.8	4490.7	4421.5
		-6.0	15.1	11.7	10.5	9.5	3.0	3.3	09.09.2000	09.09.1982		
Море Космонавтов	1293.5	37.5	310.2	251.3	66.4	132.6	62.1	108.3	898.5	1512.6	1185.2	1185.7
		3.0	31.5	24.1	5.4	11.4	5.0	9.1	10.09.1996	10.09.2004		
Море Содружества	1442.7	-113.3	-18.3	51.3	165.2	-71.8	-55.4	-81.2	1169.8	1829.6	1523.9	1520.8
		-7.3	-1.3	3.7	12.9	-4.7	-3.7	-5.3	11.09.1979	13.09.2014		
Море Моусона	1904.4	-222.8	317.6	183.6	210.4	341.2	128.9	123.0	1266.8	2435.1	1781.5	1777.6
		-10.5	20.0	10.7	12.4	21.8	7.3	6.9	15.09.1989	13.09.1982		
Тихоокеанский сектор	6103.7	-742.8	-805.8	-204.3	-648.3	-690.0	-714.5	-582.9	5921.7	7516.8	6686.6	6739.9
		-10.8	-11.7	-3.2	-9.6	-10.2	-10.5	-8.7	09.09.1987	09.09.2000		
Море Росса	5039.4	-721.3	-987.0	-270.2	-451.6	-660.1	-570.5	-481.7	4857.3	6271.4	5521.1	5525.7
		-12.5	-16.4	-5.1	-8.2	-11.6	-10.2	-8.7	09.09.2003	09.09.1996		
Море Беллинсгаузена	1064.3	-21.4	181.2	65.9	-196.8	-32.4	-144.2	-101.2	725.6	1738.9	1165.5	1155.4
		-2.0	20.5	6.6	-15.6	-3.0	-11.9	-8.7	13.09.1992	15.09.2015		

16.08-15.09

Регион	S, тыс. км2	Аномалии, тыс км2/%							1978-2019гг			
		2012 г	2007 г	2016 г	2017 г	2018 г	2009-2019гг	1978-2019гг	Минимум дата	Максимум дата	Среднее	Медиана
Южный Океан	17967.3	-639.7	-340.3	-242.9	297.1	280.9	-436.4	-285.8	16909.4	19839.6	18253.0	18214.9
		-3.4	-1.9	-1.3	1.7	1.6	-2.4	-1.6	17.08.2002	15.09.2014		
Атлантический сектор	7432.1	154.7	-48.6	-178.8	439.8	785.0	227.8	206.7	6112.0	8261.1	7225.4	7237.5
		2.1	-0.6	-2.3	6.3	11.8	3.2	2.9	16.08.1986	06.09.1980		
Западная часть моря Уэдделла	2601.1	278.3	40.1	41.7	273.2	456.8	124.8	120.8	1990.5	3226.4	2480.3	2443.6
		12.0	1.6	1.6	11.7	21.3	5.0	4.9	14.09.2018	17.08.1980		
Восточная часть моря Уэдделла	4831.0	-123.6	-88.6	-220.6	166.6	328.2	103.0	86.0	3481.0	5637.1	4745.1	4747.9
		-2.5	-1.8	-4.4	3.6	7.3	2.2	1.8	16.08.1986	14.09.1992		
Индоокеанский сектор	4381.5	-291.1	419.2	282.6	218.4	292.2	-18.0	14.6	3696.1	5185.8	4366.9	4314.7
		-6.2	10.6	6.9	5.2	7.1	-0.4	0.3	16.08.2002	05.09.1982		
Море Космонавтов	1185.8	-11.7	230.2	205.6	43.4	62.5	5.5	50.2	873.8	1544.8	1135.6	1127.4
		-1.0	24.1	21.0	3.8	5.6	0.5	4.4	20.08.1997	03.09.2010		
Море Содружества	1382.6	-105.2	-92.2	15.5	202.3	-14.7	-63.6	-103.3	1004.6	1846.4	1485.9	1491.1
		-7.1	-6.3	1.1	17.1	-1.1	-4.4	-7.0	17.08.2017	28.08.2006		
Море Моусона	1813.2	-174.2	281.2	61.6	-27.3	244.5	40.1	67.8	1223.8	2435.1	1745.4	1733.2
		-8.8	18.4	3.5	-1.5	15.6	2.3	3.9	02.09.1989	13.09.1982		
Тихоокеанский сектор	6153.6	-503.4	-710.9	-346.7	-361.1	-797.8	-645.9	-507.1	5783.0	7516.8	6660.7	6681.0
		-7.6	-10.4	-5.3	-5.5	-11.5	-9.5	-7.6	16.08.1993	09.09.2000		
Море Росса	5059.3	-534.8	-780.6	-349.1	-277.2	-640.9	-512.8	-423.3	4416.5	6351.4	5482.6	5501.8
		-9.6	-13.4	-6.5	-5.2	-11.2	-9.2	-7.7	16.08.1980	05.09.2000		
Море Беллинсгаузена	1094.3	31.5	69.6	2.4	-84.0	-157.5	-133.2	-83.7	585.1	1738.9	1178.0	1170.9
		3.0	6.8	0.2	-7.1	-12.6	-10.8	-7.1	28.08.1989	15.09.2015		

Таблица 10 – Динамика изменения значений ледовитости по сравнению с предыдущей неделей для морей Северной полярной области и Южного океана за текущий 7-дневный (неделя) промежуток времени по данным наблюдений SSMIS

09-15.09				
Регион	Сев. полярная область	Сектор 45°W-95°E	Гренландское море	Баренцево море
Разность	-61.2	29.2	2.5	2.9
тыс.кв.км/сут.	-8.7	4.2	0.4	0.4
09-15.09				
Регион	Карское море	Сектор 95°E-170°W	Море Лаптевых	Восточно-Сибирское море
Разность	1.8	-65.5	4.1	0.2
тыс.кв.км/сут.	0.3	-9.4	0.6	0.0
09-15.09				
Регион	Чукотское море	Берингово море	Сектор 170°W-45°W	Море Бофорта
Разность	-1.3	-2.5	-25.0	-23.1
тыс.кв.км/сут.	-0.2	-0.4	-3.6	-3.3
09-15.09				
Регион	Гудзонов залив	Море Лабрадор	Дейвисов пролив	Канадский архипелаг
Разность	0.5	-0.3	-1.7	44.2
тыс.кв.км/сут.	0.1	0.0	-0.2	6.3
09-15.09				
Регион	Южный Океан	Атлантический сектор	Западная часть моря Уэдделла	Восточная часть моря Уэдделла
Разность	6.9	-172.4	-126.3	-46.0
тыс.кв.км/сут.	1.0	-24.6	-18.0	-6.6
09-15.09				
Регион	Индоокеанский сектор	Море Космонавтов	Море Содружества	Море Моуссона
Разность	107.7	56.6	88.4	-37.3
тыс.кв.км/сут.	15.4	8.1	12.6	-5.3
09-15.09				
Регион	Тихоокеанский сектор	Море Росса	Море Беллинсгаузена	
Разность	71.5	55.0	16.5	
тыс.кв.км/сут.	10.2	7.9	2.4	

Характеристика исходного материала и методика расчетов

Для иллюстрации ледовых условий Арктического региона представлены совмещенные региональные карты ААНИИ [4, 6], Канадской ледовой службы – КЛС [12], Национального ледового центра США – НЛЦ [10], при наличии данных, ГМЦ России [8], НИЦ Планета [9] и ледовой службы Германии. Совмещение карт выполнено путем перекрытия слоев (ААНИИ, слой #1), (ГМЦ России или НИЦ Планета, слой #1), (BSH, слой #1) -> (КЛС, слой #2) -> (обзорная карта НЛЦ, слой #3). Как результат, карты ААНИИ характеризуют ледовые условия морей Гренландского...Бофорта, карты ГМЦ России или НИЦ Планета – Азовского, Каспийского, Берингова, Охотского, Японского, Белого, карты НЛЦ – Северных частей Тихого и Атлантического океанов и Арктического бассейна (при этом полный охват карт НЛЦ – вся акватория СЛО и субполярные моря). карты BSH – Балтийского карты КЛС - морей Бофорта, Канадского архипелага, Баффина, Девисова пролива, Лабрадор, Св. Лаврентия (при этом полный охват карт НЛЦ – вся акватория СЛО и субполярные моря). Для ледовых условий и распределения айсбергов Южного океана использованы данные проекта по интегрированному ледовому анализу Южного океана – циркумполярные карты ААНИИ [5, 7], НЛЦ [10, 11] и карты акватории Антарктического полуострова Норвежского метеорологического института (НМИ) [21]. Для построения совмещенных карт используется архив данных в обменном формате ВМО СИГРИД-3 [18] Мирового центра данных по морскому льду (МЦД МЛ) – проекта ВМО «Глобальный Банк Цифровых Данных по Морскому Льду». В пределах отдельного срока выборка карт из архива проводилась по критериям близости карт к сроку выпуска карты ААНИИ с максимальным интервалом времени между картами до 7 суток (день недели выпуска карт ААНИИ – вторник, ГМЦ России – среда, НИЦ Планета – понедельник, BSH – понедельник, КЛС – понедельник, НЛЦ – четверг для морского льда и пятница – для крупных айсбергов Южного океана, НМИ - понедельник).

Для иллюстрации полей толщин льда СЛО использованы ежедневные данные по распределению средневзвешенной толщины льда численной модели HYCOM-CICE Датского метеорологического института (ДМИ) [20]. Численная модель HYCOM-CICE имеет разрешение 10x10 км и является совместной моделью морского льда – океана. Портал полярных данных ДМИ [22] используется также как источник данных по оценке объема льда СЛО, температуры поверхности океана/морского льда, аномалий температуры воздуха и поля приземного ветра.

Для иллюстрации ледовых условий Северной Полярной области и Южного океана за последние сутки используются ежедневные циркумполярные ледовые информационные продукты НЛЦ США по оценке расположения кромки льда и ледяных массивов - MIZ (Marginal Ice Zone).

Для цветовой окраски карт использован стандарт ВМО (WMO/Td. 1215) [19] для зимнего (по возрасту) и летнего (по общей сплоченности) периодов. Следует также отметить, что в зонах стыковки карт ААНИИ, КЛС и НЛЦ наблюдается определенная несогласованность границ и характеристик ледовых зон вследствие ряда различий в ледовых информационных системах подготавливающих служб. Однако, данная несогласованность несущественна для целей интерпретации ледовых условий в рамках настоящего обзора.

Для получения оценок ледовитости (extent) и приведенной ледовитости – площади льда (area) отдельных секторов, морей, частей морей Северной полярной области и Южного океана и климатического положения кромок заданной повторяемости на основе данных спутниковых систем пассивного микроволнового зондирования SSMR-SSM/I-SSMIS [17] в МЦД МЛ ААНИИ принята следующая технология расчетов:

– источник данных – архивные (Cavaliere et al., 2008, Meier et al., 2006) и квазиоперативные (Maslanik and Stroeve, 1999) с задержкой 1-2 дня ежедневные матрицы (поля распределения) оценок общей сплоченности Северной (севернее 45° с.ш.) и Южной (южнее 50° с.ш.) Полярных областей на основе обработанных по алгоритму NASATEAM данных многоканальных микроволновых радиометров SSMR-SSM/I-SSMIS ИСЗ

NIMBUS-7 и DMSP за период с 26.10.1978 г. по настоящий момент времени [13, 14, 15], копируемые с сервера НЦДСЛ;

- область расчета – Северная и Южная Полярные области и их регионы с использованием масок океан/суша НЦДСЛ (http://nsidc.org/data/polar_stereo/tools_masks.html);
- границы используемых масок расчета отдельных меридиональных секторов, морей, частей морей Северной полярной области и Южного океана представлены на рисунках П1 – П6, не совпадают с используемыми в НЦДСЛ масками для отдельных акваторий Мирового океана и основаны на номенклатуре ААНИИ для морей Евразийского шельфа (Гренландское - Чукотское), Атласе Северного ледовитого океана (1980) и Атласе океанов (1980) издательства ГУНИО МО [1, 2, 3].
- вычислительные особенности расчета – авторское программное обеспечение ААНИИ с сохранением точности расчетов и оценке статистических параметров по гистограмме распределения и свободно-распространяемое программное обеспечение GDAL для векторизации полей климатических параметров;

В графическом формате PNG совмещенные карты ААНИИ-КЛС-НЛЦ доступны по адресу <http://wdc.aari.ru/datasets/d0040>.

Результаты расчетов ледовитости Северной, Южной полярных областей, их отдельных меридиональных секторов, морей и частей морей доступны на сервере МЦД МЛ ААНИИ в каталогах соответственно <http://wdc.aari.ru/datasets/ssmi/data/north/extent/> и <http://wdc.aari.ru/datasets/ssmi/data/south/extent/>.

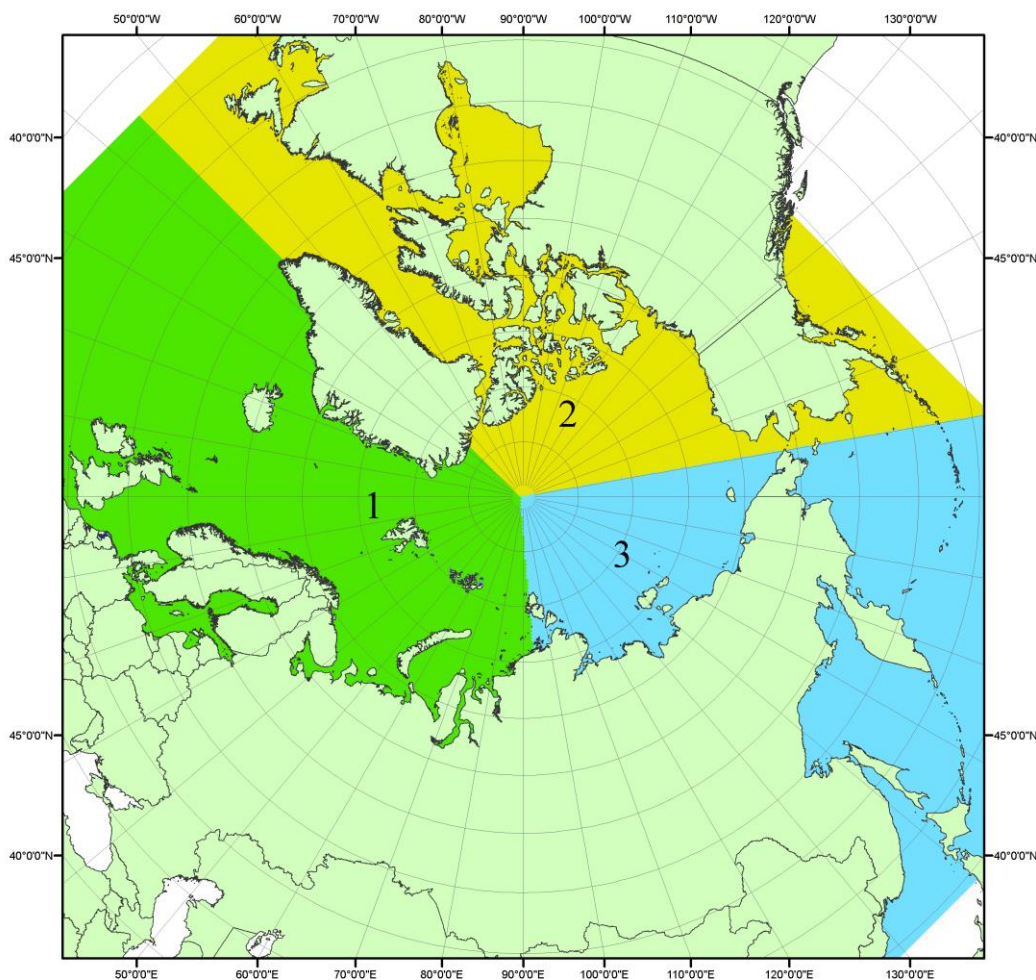


Рисунок П1 – Секторальное деление северной полярной области. 1 - Сектор 45°W-95°E (Гренландское - Карское моря); 2 - Сектор 170°W-45°W (море Бофорта и Канадская Арктика); 3 - Сектор 95°E-170°W (моря Лаптевых - Чукотское, Берингово, Охотское, Японское)

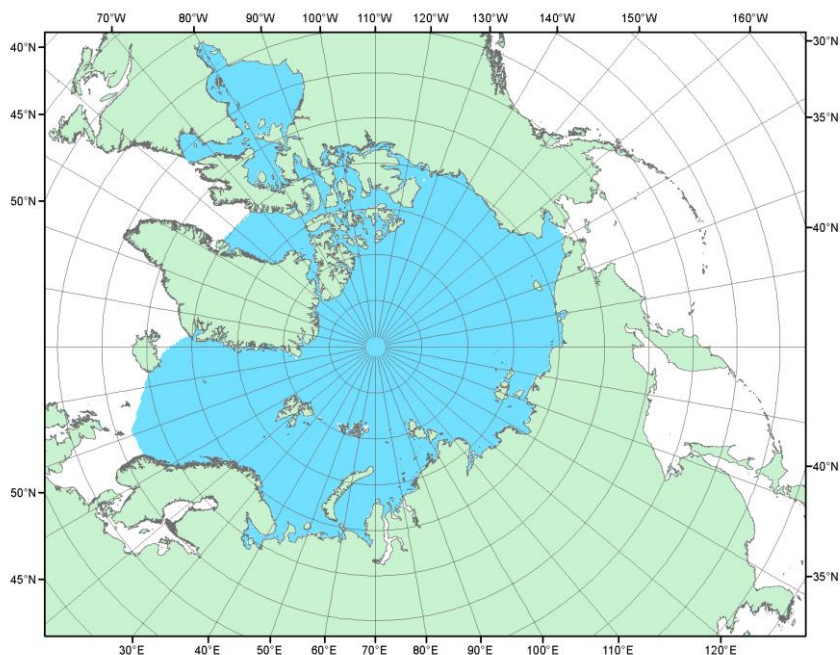


Рисунок П2 – Северный ледовитый океан в официальных границах

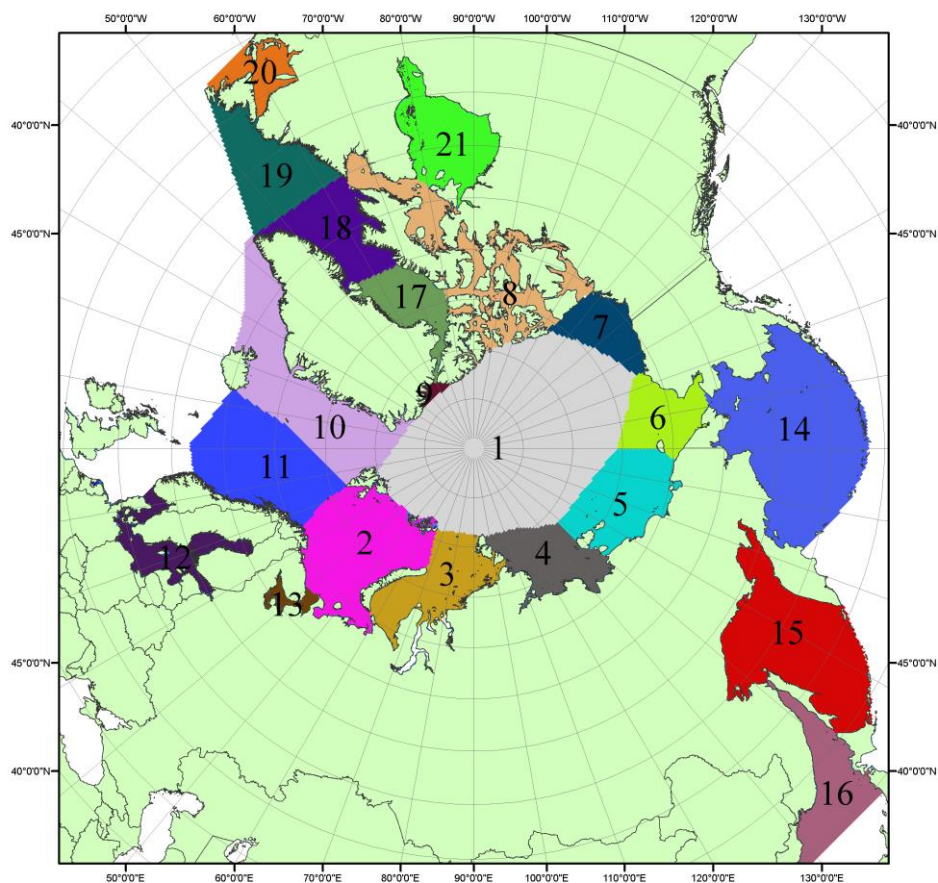


Рисунок П3 – моря северной полярной области. 1 – Арктический бассейн; 2- Баренцево море; 3 – Карское море; 4 – море Лаптевых; 5 - Восточно-Сибирское море; 6 – Чукотское море; 7 – море Бофорта; 8 – Канадский архипелаг; 9 – море Линкольна; 10 – Гренландское море; 11 – Норвежское море; 12 – Балтийское море; 13 – Белое море; 14 – Берингово море; 15 – Охотское море; 16 – Японское море; 17 – море Баффина; 18 – Дейвисов пролив; 19 – море Лабрадор; 20 – залив Святого Лаврентия; 21 – Гудзонов залив.

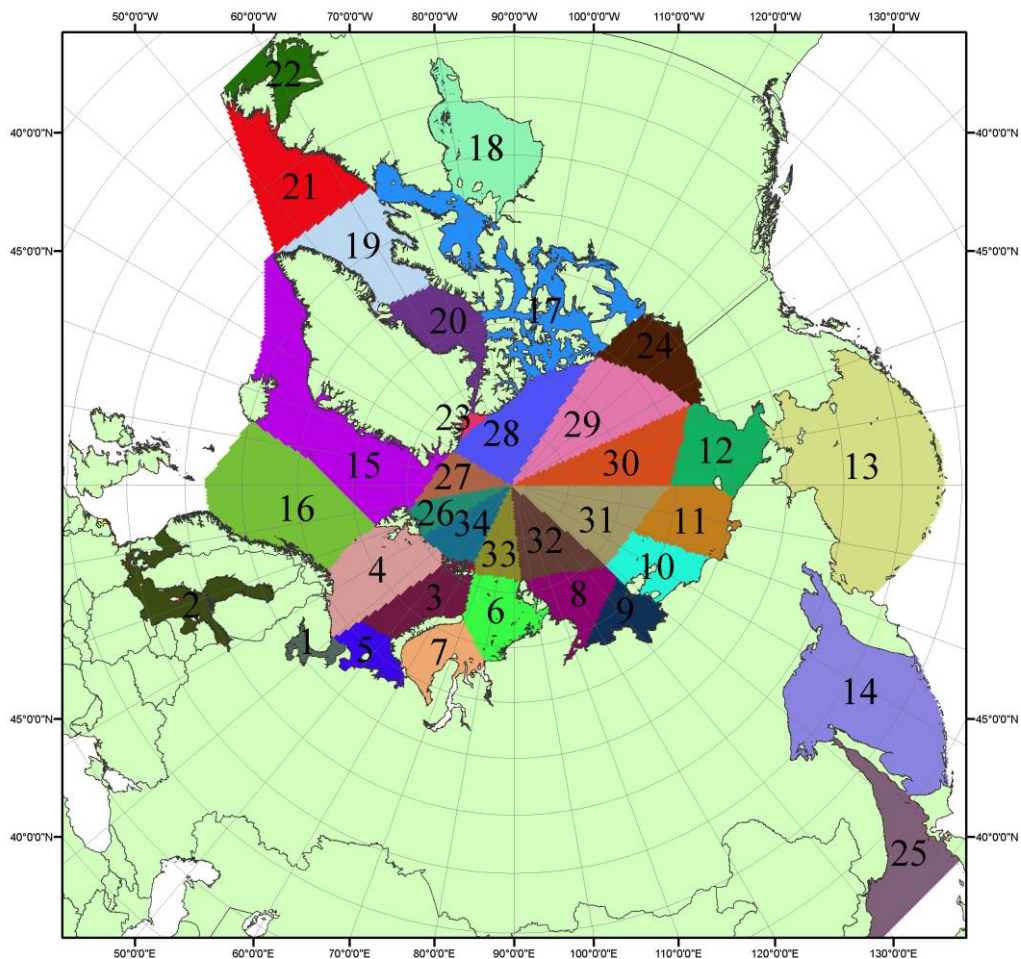


Рисунок П4 – Сектора и моря северной полярной области. 1 - Белое море; 2- Балтийское море; 3 – Баренцево море (СВ); 4 – Баренцево море (З); 5 - Баренцево море (ЮВ); 6 – Карское море (СВ); 7 – Карское море (ЮЗ); 8 – море Лаптевых (В); 9 – море Лаптевых (З); 10 – Восточно-Сибирское море (З); 11 – Восточно-Сибирское море (В); 12 – Чукотское море; 13 – Берингово море; 14 – Охотское море; 15 – Гренландское море; 16 – Норвежское море; 17 – Канадский архипелаг; 18 – Гудзонов залив; 19 – Дейвисов пролив; 20 - море Баффина; 21 – море Лабрадор; 22 - залив Святого Лаврентия; 23 - море Линкольна; 24 - море Бофорта; 25 - Японское море; 26 - сектор АО (30°з.д. – 10°в.д.); 27 – сектор АО (10°в.д. – 30°в.д.); 28 - сектор АО (30°в.д. – 65°в.д.); 29 - сектор АО (65°в.д. – 96°в.д.); 30 - сектор АО (96°в.д. – 140°в.д.); 31 - сектор АО (140°в.д. – 180°в.д.); 32 - сектор АО (180°в.д. – 156°з.д.); 33 - сектор АО (156°з.д. – 123°з.д.); 34 - сектор АО (123°з.д. – 30°з.д.).

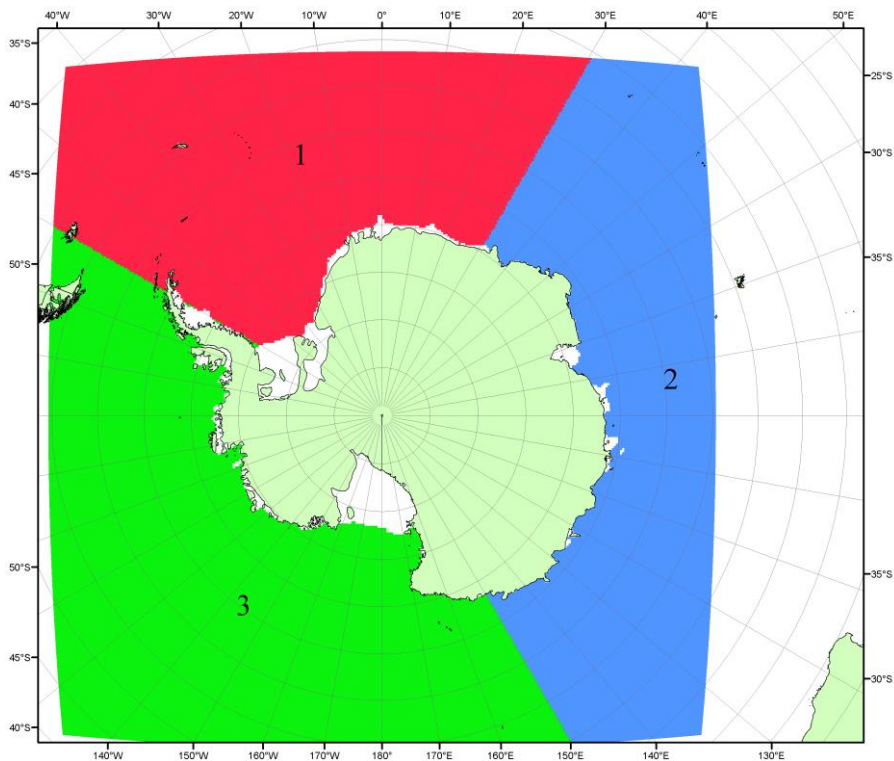


Рисунок П5 – Секторальное деление Южного океана. 1 - Атлантический сектор (60°W-30°E, море Уэдделла); 2 - Индоокеанский сектор (30°E-150°E, моря Космонавтов, Содружества, Моусона); 3 - Тихоокеанский сектор (150°E-60°W, моря Росса, Беллинсгаузена)

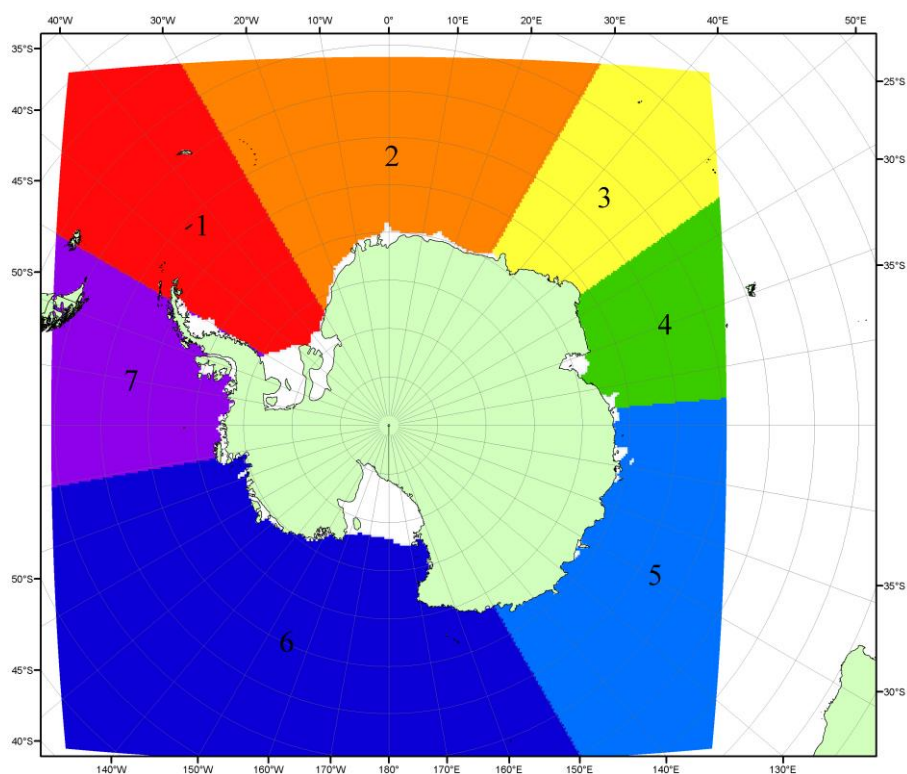


Рисунок П6 – Моря Южного океана. 1 – Западная часть моря Уэдделла; 2- Восточная часть моря Уэдделла; 3 – Море Космонавтов; 4 – море Содружества; 5 – море Моусона; 6 – море Росса; 7 – Море Беллинсгаузена.

СПИСОК ИСТОЧНИКОВ

1. Атлас океанов. Северный Ледовитый океан. – 1980. М: Изд. ГУНИО МО СССР ВМФ – 184 с.
2. Атлас океанов. Термины. Понятия. Справочные таблицы. - Изд. ВМФ МО СССР.-1980.
3. Границы океанов и морей. – 1960. Л.: Изд. ГУНИО ВМФ. – 51 с.
4. Обзорные ледовые карты ФГБУ «ААНИИ» Северного Ледовитого океана за 2008-2018 гг. в обменном формате ВМО СИГРИД-3 // Мировой центр данных по морскому льду - Глобальный банк данных по морскому льду – <http://wdc.aari.ru/datasets/d0015>.
5. Комплексные ледовые карты ФГБУ «ААНИИ» Южного океана за 2014-2018 гг. в обменном формате ВМО СИГРИД-3 // Мировой центр данных по морскому льду - Глобальный банк данных по морскому льду – <http://wdc.aari.ru/datasets/d0015>.
6. Комплексные ледовые карты ФГБУ «ААНИИ» арктических и замерзающих морей России за 1997-2018 гг. в обменном формате ВМО СИГРИД-3 // Мировой центр данных по морскому льду - Глобальный банк данных по морскому льду – <http://wdc.aari.ru/datasets/d0004>.
7. Карты ФГБУ «ААНИИ» анализа крупных айсбергов Южного океана за 2014-2018 гг. в обменном формате ВМО СИГРИД-3 // Мировой центр данных по морскому льду - Глобальный банк данных по морскому льду – <http://wdc.aari.ru/datasets/d0015>.
8. Комплексные ледовые карты ФГБУ «Гидрометцентр России» Азовского, Каспийского и Белого морей за 2000-2017 гг. в обменном формате ВМО СИГРИД-3 // Мировой центр данных по морскому льду - Глобальный банк данных по морскому льду – <http://wdc.aari.ru/datasets/d0033>.
9. Комплексные ледовые карты ФГБУ «НИЦ Планета» Азовского, Каспийского, Берингова, Охотского и Японского морей за 2016-2018 гг. в обменном формате ВМО СИГРИД-3 // Мировой центр данных по морскому льду - Глобальный банк данных по морскому льду – <http://wdc.aari.ru/datasets/d0034>.
10. Комплексные ледовые карты Северной полярной области и Южного океана Национального ледового центра США за 2003-2018 гг. в обменном формате ВМО СИГРИД-3 // Мировой центр данных по морскому льду - Глобальный банк данных по морскому льду – <http://wdc.aari.ru/datasets/d0032>.
11. Карты анализа крупных айсбергов Южного океана Национального ледового центра США за 2014-2018 гг. в обменном формате ВМО СИГРИД-3 // Мировой центр данных по морскому льду - Глобальный банк данных по морскому льду – <http://wdc.aari.ru/datasets/d0032>.
12. Комплексные ледовые карты Канадской Арктики Канадской ледовой службы за 2006-2018 гг. в обменном формате ВМО СИГРИД-3 // Мировой центр данных по морскому льду - Глобальный банк данных по морскому льду – <http://wdc.aari.ru/datasets/d0031>.
13. Cavalieri, D., C. Parkinson, P. Gloersen, and H. J. Zwally. 1996, updated 2008. *Sea Ice Concentrations from Nimbus-7 SMMR and DMSP SSM/I Passive Microwave Data*, [1978.10.26 – 2007.12.31]. Boulder, Colorado USA: National Snow and Ice Data Center. Digital media.
14. Meier, W., F. Fetterer, K. Knowles, M. Savoie, M. J. Brodzik. 2006, updated quarterly. *Sea Ice Concentrations from Nimbus-7 SMMR and DMSP SSM/I Passive Microwave Data*, [2008.01.01 – 2008.03.25]. Boulder, Colorado USA: National Snow and Ice Data Center. Digital media.
15. Maslanik, J., and J. Stroeve. 1999, updated daily. *Near-Real-Time DMSP SSM/I-SSMIS Daily Polar Gridded Sea Ice Concentrations*, [2008.03.26 – present moment]. Boulder, Colorado USA: National Snow and Ice Data Center. Digital media.
16. Andersen, S., R. Tonboe, L. Kaleschke, G. Heygster, and L. T. Pedersen, Intercomparison of passive microwave sea ice concentration retrievals over the high-concentration Arctic sea ice.// J. Geophys. Res. – 2007. – Vol. 112. C08004, doi:10.1029/2006JC003543.
17. Статистические характеристики сплоченности морского льда Северной полярной области и Южного океана на основе данных наблюдений SSMR-SSM/I-SSMIS, алгоритм NASATEAM // Мировой центр данных по морскому льду - Глобальный банк данных по морскому льду – <http://wdc.aari.ru/datasets/ssmi>.

18. SIGRID-3: A vector archive format for Sea Ice Georeferenced Information and Data - JCOMM Technical Report Series No. 23, 2014, WMO/TD-No.1214.

19. Ice Chart Colour Code Standard. - JCOMM Technical Report Series No. 24, 2004, WMO/TD-No.1215.

(http://jcomm.info/index.php?option=com_oe&task=viewDocumentRecord&docID=4914)

20. Danish Meteorological Institute North Atlantic - Arctic Ocean model HYCOM-CICE - <http://ocean.dmi.dk/models/hycom.uk.php>

21. Портал данных ледового анализа Южного океана Норвежского метеорологического института - <http://polarview.met.no/Antarctic.html>

22. Портал полярных данных Датского метеорологического института - <http://polarportal.dk>